

151142

ANKARA ÜNİVERSİTESİ
FEN BİLİMLERİ ENSTİTÜSÜ

YÜKSEK LİSANS TEZİ

LEPTONLARIN ELEKTROZAYIF ETKİLEŞMELERİ
ve e^+e^- ve νe SAÇILMA SÜREÇLERİ

151142

Şeyhmus AKASLAN

FİZİK MÜHENDİSLİĞİ ANABİLİM DALI

ANKARA
2004

Her hakkı saklıdır

Prof.Dr.Ali Ulvi YILMAZER danışmanlığında, Şeymus AKASLAN tarafından hazırlanan bu çalışma 09/ 01/ 2004 tarihinde aşağıdaki jüri tarafından Fizik Mühendisliği Anabilim Dalı'nda Yüksek Lisans tezi olarak kabul edilmiştir.

Başkan : Prof.Dr.Mehmet ZEYREK

İmza : 

Üye : Prof.Dr. Satılmış ATAĞ

İmza : 

Üye : Prof.Dr.Ali Ulvi YILMAZER

İmza : 

Yukarıdaki sonucu onaylarım



Prof.Dr.Metin OLGUN
Enstitü Müdürü

ÖZET

Yüksek Lisans Tezi

LEPTONLARIN ELEKTROZAYIF ETKİLEŞMELERİ ve e^+e^- ve ν_e SAÇILMA SÜREÇLERİ

Şeyhmus AKASLAN

Ankara Üniversitesi
Fen Bilimleri Enstitüsü
Fizik Mühendisliği Anabilim Dalı

Danışman : Prof.Dr. Ali Ulvi YILMAZER

Bu tezde Standart Model çerçevesinde leptonlara ait bir dizi elektrozaıf süreç ayrıntılı olarak incelenmiş ve sonuçlar LEP'in deneysel verileriyle karşılaştırılmıştır. $e^-e^- \rightarrow f\bar{f}$ ($f = e, \mu, \tau$) ve $e^- \nu_f \rightarrow e^- \nu_f$, $e^- \bar{\nu}_f \rightarrow e^- \bar{\nu}_f$ süreçlerine ait toplam ve diferansiyel tesir kesitleri, sağ-sol ve ileri-geri asimetrieleri elde edilmiştir. Standart modeldeki parametrelere olan bağılılıklar irdelenmiştir.

2004, 78 sayfa

ANAHTAR KELİMELER : Elektron-pozitron, elektron-nötrino, ileri-geri asimetrisi, sağ-sol asimetrisi, toplam tesir kesiti, diferansiyel tesir kesiti

ABSTRACT

Ms. Thesis

ELECTROWEAK INTERACTIONS OF LEPTONS
and e^+e^- and νe SCATTERING PROCESSES

Şeyhmus AKASLAN

Ankara University
Graduate School of Natural and Applied Sciences
Department of Engineering Physics

Supervisor: Prof.Dr. Ali Ulvi YILMAZER

In this thesis a series of processes involving electroweak interactions of leptons are examined and compared with the LEP data. The processes $e^+e^- \rightarrow f\bar{f}$ ($f = e, \mu, \tau$) and $e^- \nu_f \rightarrow e^- \nu_f$, $e^- \bar{\nu}_f \rightarrow e^- \bar{\nu}_f$ are investigated and their total and differential cross sections are obtained as well as the relevant left-right and forward-backward asymmetries. The dependences to the Standard Model parameters are discussed.

2004, 78 pages

Key Words : Electron-positron, electron-neutrino, forward-backward asymmetry, left-right asymmetry, total cross section, differential cross section

ÖNSÖZ

Tez çalışmamda bana araştırma olanağı sağlayan ve çalışmamın her safhasında yakın ilgi ve önerileriyle beni yönlendiren danışman hocam , Sayın Prof. Dr. Ali Ulvi YILMAZER (Ankara Üniversitesi Fen Fakültesi)'e teşekkürlerimi sunarım.

Şeyhmus AKASLAN
Ankara, Ocak 2004

İÇİNDEKİLER

ÖZET.....	i
ABSTRACT.....	ii
ÖNSÖZ.....	iii
SİMGELER DİZİNİ.....	v
ŞEKİLLER DİZİNİ.....	vi
ÇİZELGELER DİZİNİ.....	viii
1. GİRİŞ	1
1.1 Standart Modelin Çerçevesi.....	1
1.2 Bozonlar.....	3
1.3 Fermiyonlar.....	4
1.4 Standart Model Parametreleri.....	5
1.5 Çiftlenimler.....	5
1.6 e^+e^- Çarpışmalarında Z^0 Üretimi.....	6
1.7 Sol-Sağ Asimetrisi.....	9
1.8 Radyatif Düzeltmeler.....	10
1.9 Standart Model Ötesi.....	11
1.9.1 İlave Ayar bozonları (Z').....	12
1.9.2 Kontakt etkileşmeler.....	13
1.9.3 Dördüncü jenerasyon.....	14
2. FERMİYONLARIN ELLİLİK DURUMLARI	16
2.1. Yüksüz Zayıf Akım.....	18
2.2. Yüklü Zayıf Akım.....	23
2.3. Elektromanyetik Akım.....	25
3. ELEKTRON-POZİTRON SAÇILMA SÜREÇLERİ	29
3.1 $e^-e^+ \rightarrow e^-e^+$ Saçılması.....	29
3.2. $e^-e^+ \rightarrow \mu^-(\tau^-)\mu^+(\tau^+)$ Saçılması.....	37
3.3. $e^-e^+ \rightarrow N\bar{\nu}_e$ Saçılması.....	45
4. ELEKTRON-NÖTRİNO SAÇILMA SÜREÇLERİ	50
4.1 $e^- \nu_e \rightarrow e^- \nu_e$ Saçılması.....	50
4.2. $e^- \nu_\mu \rightarrow e^- \nu_\mu$ Saçılması.....	55
4.2.1. Polarize Dirac parçacıklarının saçılması.....	60
4.3. $e^- \bar{\nu}_e \rightarrow e^- \bar{\nu}_e$ Saçılması.....	64
4.4. $e^- \bar{\nu}_\mu \rightarrow e^- \bar{\nu}_\mu$ Saçılması.....	70
5. SONUÇ	76
KAYNAKLAR.....	77
ÖZGEÇMİŞ.....	78

SİMGELER DİZİNİ

σ	Tesir kesiti
$d\sigma$	Diferansiyel tesir kesiti
u, t, s	Mandelstam değişkenleri
A_{LR}	Sağ-sol asimetsisi
A_{FB}	İleri-geri asimetrisi
$u(p, s), v(p, s)$	Parçacık, antiparçacık spinörleri
P	Polarizasyon yüzdesi
p	Parçacık 4'lü momentumu
s	Parçacık spini
θ	Saçılma açısı
θ_W	Zayıf karışım açısı

ŞEKİLLER DİZİNİ

Şekil 1.1. Elektrozayıf köşe çiftlenimleri.....	3
Şekil 1.2. Elektron-pozitron yokolma kinematığı.....	7
Şekil 1.3. Birinci mertebe radyatif diagramlara örnek prosesler.....	11
Şekil 1.4. Z' bozon s kanal katkısı.....	12
Şekil 1.5. Z' bozon t kanal katkısı.....	12
Şekil 1.6. Kontakt etkileşmeler.....	13
Şekil 2.1. NC –Parçacık etkileşmesi.....	18
Şekil 2.2. NC –Antiparçacık etkileşmesi.....	20
Şekil 2.3. NC – (anti)parçacık etkileşmesi.....	21
Şekil 2.4. W -Parçacık etkileşmesi.....	23
Şekil 2.5. W -Antiparçacık etkileşmesi.....	24
Şekil 2.6. W -(Anti)parçacık etkileşmesi.....	25
Şekil 2.7. Foton-Parçacık etkileşmesi.....	25
Şekil 2.8. Foton-Antiparçacık etkileşmesi.....	26
Şekil 2.9. Foton-(Anti)parçacık etkileşmesi.....	27
Şekil 3.1. $e^-e^+ \rightarrow e^-e^+$ saçılması s kanal.....	29
Şekil 3.2. $e^-e^+ \rightarrow e^-e^+$ saçılması t kanal.....	29
Şekil 3.3. $e^-e^+ \rightarrow e^-e^+$ saçılması diferansiyel tesir kesiti.....	32
Şekil 3.4. $e^-e^+ \rightarrow e^-e^+$ saçılması toplam tesir kesiti.....	33
Şekil 3.5. $e^-e^+ \rightarrow e^-e^+$ saçılması A_{LR} asimetrisi.....	34
Şekil 3.6. $e^-e^+ \rightarrow e^-e^+$ saçılması A_{FB} asimetrisi.....	35
Şekil 3.7. $e^-e^+ \rightarrow e^-e^+$ saçılması $\sigma(\gamma + Z^0)/\sigma(\gamma)$ oranı.....	36
Şekil 3.8. $e^-e^+ \rightarrow \mu^-\mu^+$ saçılması s kanal.....	37
Şekil 3.9. $e^-e^+ \rightarrow \tau^-\tau^+$ saçılması s kanal.....	37
Şekil 3.10. $e^-e^+ \rightarrow \mu^-\mu^+$ saçılması diferansiyel tesir kesiti.....	40
Şekil 3.11. $e^-e^+ \rightarrow \mu^-\mu^+$ saçılması toplam tesir kesiti.....	41
Şekil 3.12. $e^-e^+ \rightarrow \mu^-\mu^+$ saçılması A_{LR} asimetrisi.....	42
Şekil 3.13. $e^-e^+ \rightarrow \mu^-\mu^+$ saçılması A_{FB} asimetrisi.....	43
Şekil 3.14. $e^-e^+ \rightarrow \mu^-\mu^+$ saçılması $\sigma(\gamma + Z^0)/\sigma(\gamma)$ oranı.....	44
Şekil 3.15. $e^-e^+ \rightarrow N\bar{\nu}_e$ saçılması t kanal.....	45
Şekil 3.16. $e^-e^+ \rightarrow N\bar{\nu}_e$ saçılması diferansiyel tesir kesiti.....	47
Şekil 3.17. $e^-e^+ \rightarrow N\bar{\nu}_e$ saçılması toplam tesir kesiti.....	48
Şekil 3.18. $e^-e^+ \rightarrow N\bar{\nu}_e$ saçılması A_{FB} asimetrisi.....	49
Şekil 4.1. $e^- \nu_e \rightarrow e^- \nu_e$ saçılması t kanal.....	50
Şekil 4.2. $e^- \nu_e \rightarrow e^- \nu_e$ saçılması u kanal.....	50
Şekil 4.3. $e^- \nu_e \rightarrow e^- \nu_e$ saçılması diferansiyel tesir kesiti.....	52
Şekil 4.4. $e^- \nu_e \rightarrow e^- \nu_e$ saçılması toplam tesir kesiti.....	53
Şekil 4.5. $e^- \nu_e \rightarrow e^- \nu_e$ saçılması A_{LR} asimetrisi.....	54
Şekil 4.6. $e^- \nu_\mu \rightarrow e^- \nu_\mu$ saçılması t kanal.....	55
Şekil 4.7. $e^- \nu_\mu \rightarrow e^- \nu_\mu$ saçılması diferansiyel tesir kesiti.....	57
Şekil 4.8. $e^- \nu_\mu \rightarrow e^- \nu_\mu$ saçılması toplam tesir kesiti.....	58

Şekil 4.9. $e^- \nu_\mu \rightarrow e^- \nu_\mu$ saçılması A_{LR} asimetrisi.....	59
Şekil 4.10. $e^- \nu_\mu \rightarrow e^- \nu_\mu$ saçılması A_{FB} asimetrisi.....	60
Şekil 4.11. $e^- \bar{\nu}_e \rightarrow e^- \bar{\nu}_e$ saçılması s kanal.....	64
Şekil 4.12. $e^- \bar{\nu}_e \rightarrow e^- \bar{\nu}_e$ saçılması t kanal.....	64
Şekil 4.13. $e^- \bar{\nu}_e \rightarrow e^- \bar{\nu}_e$ saçılması diferansiyel tesir kesiti.....	66
Şekil 4.14. $e^- \bar{\nu}_e \rightarrow e^- \bar{\nu}_e$ saçılması toplam tesir kesiti.....	67
Şekil 4.15. $e^- \bar{\nu}_e \rightarrow e^- \bar{\nu}_e$ saçılması A_{LR} asimetrisi.....	68
Şekil 4.16. $e^- \bar{\nu}_e \rightarrow e^- \bar{\nu}_e$ saçılması A_{FB} asimetrisi.....	69
Şekil 4.17. $e^- \bar{\nu}_\mu \rightarrow e^- \bar{\nu}_\mu$ saçılması t kanal.....	70
Şekil 4.18. $e^- \bar{\nu}_\mu \rightarrow e^- \bar{\nu}_\mu$ saçılması diferansiyel tesir kesiti.....	72
Şekil 4.19. $e^- \bar{\nu}_\mu \rightarrow e^- \bar{\nu}_\mu$ saçılması toplam tesir kesiti.....	73
Şekil 4.20. $e^- \bar{\nu}_\mu \rightarrow e^- \bar{\nu}_\mu$ saçılması A_{LR} asimetrisi.....	74
Şekil 4.21. $e^- \bar{\nu}_\mu \rightarrow e^- \bar{\nu}_\mu$ saçılması A_{FB} asimetrisi.....	75

ÇİZELGELER DİZİNİ

Çizelge 1.1. Z^0 çiftlenim sabitleri. Değişik kaynaklarda kullanılan $c_V, c_A, g_V, g_A, g_L, g_R$ katsayıları ve aralarındaki ilişkiler.....	6
Çizelge 2.1. Fermiyon ellilik tanımları.....	17
Çizelge 2.2. Sağ(R) ve Sol(L) ellilik durumunda köşe faktörleri.....	28

1. GİRİŞ

Tarih bize doğanın basitliği kompleksliğe tercih ettiğini göstermiştir. Doğayı tarif etmek için çok parametre ve olaya bağlı şartlar ortaya çıktığında, fiziksel sürecin altındaki simetrilere bakma zamanı gelmiş demektir. Yüzeydeki komplekslik büyük ihtimalle altında yatan basitlikle tasvir edilebilir. Elektrik ve manyetizma, ardından da elektromanyetizma ve zayıf etkileşme birleştirilirken tam olarak yapılan budur.

Elektromanyetik etkileşme geçen iki yüzyıl boyunca tüm ayrıntılarıyla incelendi. Maxwell iki ayrı kuvvet olan elektrik ve manyetizmanın aslında aynı etkileşmeden doğduğunu gösterdi. 20. yüzyılda elektromanyetik alan kuantumlandı ve fotonun elektromanyetik alanın kuvvet taşıyıcısı olduğu anlaşıldı. Nükleer beta bozunumu zayıf etkileşmenin tanındığı ilk olay olup halen çalışma altındadır. Fermi nükleer beta bozunumunun çalışan ilk teorisini geliştiren kişidir. Ardından Lee ve Yang zayıf etkileşmenin pariteyi bozduğunu gösterdiler.

1960'larda Glashow, Weinberg ve Salam zayıf ve elektromanyetik etkileşmeleri birleştiren bir teori geliştirdiler. Düşük etkileşme enerjilerinde bu kuvvetler tamamen farklı olarak görülürler fakat büyük etkileşme enerjilerinde (100 GeV civarında), bu kuvvetlerin birleştiği açıkça görülebilir. "Elektrozayıf Etkileşmelerin Standart Teorisi" şimdiye kadar yapılmış büyük duyarlıklılı deneysel testlerin tümünden geçmiştir. Buna rağmen Standart Modelin elektrozayıf, güçlü ve gravitasyonel kuvvetleri birleştiren daha büyük bir teorisinin "düşük enerji" yaklaşımı olduğuna inanılır. Burada deneyçilerin işi Standart Modelin parametrelerini mümkün olduğunca büyük duyarlılıkta ölçmek, atomaltı parçacıklar ve etkileşmelerinin altındaki temel fiziğe daha ileri bir bakış açısı verebilecek teorideki sapmaları aramaktır.

1.1. Standart Modelin Çerçevesi

Standart Model $SU(2)_L \times U(1)$ grubuna dayalı bir ayar teorisidir. Burada $SU(2)$ simetrisi "zayıf izospin" uzayından ve $U(1)$ simetrisi ise "zayıf hiperyük" uzayından doğar. $SU(2)$ grubu $\vec{W}_\mu = W_\mu^{(1)}, W_\mu^{(2)}, W_\mu^{(3)}$ vektör tripletinden ve $U(1)$ grubu B_μ singletinden üretilir. Bu jeneratörler elektrozayıf etkileşmenin öz durumu olmayan kütesiz vektör bozonlar olarak düşünülebilirler. Kendiliğinden simetri kırılması olarak bilinen proses "Higgs Mekanizması" yoluyla gerçekleştirilir. Kırılan simetri grup jeneratörlerinin lineer

kombinasyonu olan fiziksel bozonlar doğurur.

$$W_{\mu}^{\pm} = \frac{1}{\sqrt{2}} (W_{\mu}^{(1)} \pm W_{\mu}^{(2)}) \quad (1a)$$

$$Z_{\mu} = \frac{g_W W_{\mu}^{(3)} - g' B_{\mu}}{\sqrt{g_W^2 + g'^2}} \quad (1b)$$

$$A_{\mu} = \frac{g' W_{\mu}^{(3)} + g_W B_{\mu}}{\sqrt{g_W^2 + g'^2}} \quad (1c)$$

Burada W_{μ}^{\pm} 'lar yüklü kütleli bozonlar, Z_{μ} nötral kütleli bozon ve A_{μ} ise kütsesiz fotondur. W_{μ}^{\pm} , Z_{μ} ve tüm fermiyonlar Higgs alanı tarafından sağlanan ve kendi kendileriyle etkileştikleri terimlerden kütle kazanırlar. Higgs mekanizmasının sonucu olarak bir ya da daha fazla kütleli Higgs bozonunun varolması beklenir. Şu ana kadar hiçbir Higgs bozonu deneysel olarak gözlenmemiştir. Hiperyük ve izospin uzayları "karışmıştır". Karışımın büyüklüğü g_W ve g' sabitleri tarafından aşağıdaki şekilde tanımlanır.

$$g_W = \frac{g_e}{\sin \theta_W}, \quad g' = \frac{g_e}{\cos \theta_W} \quad (2)$$

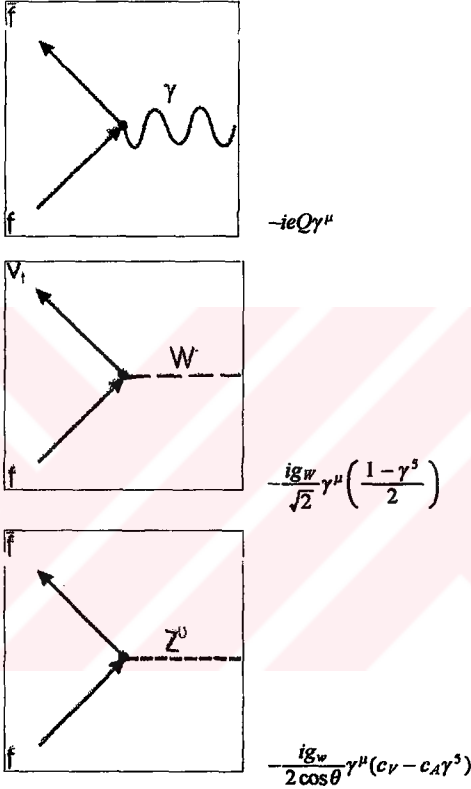
Burada g_e elektron yükü ve θ_W ise zayıf karışım açısıdır. Zayıf karışım açısı, hiperyük/izospin uzayında üniter bir transformasyonu (rotasyonu) gösteren bir parametre olarak da düşünülebilir.

Fermiyonlar ve ayar bozonları arasındaki etkileşmeyi tasvir eden Lagranjyenin bir parçası aşağıdaki gibi yazılabilir.

$$\begin{aligned} \mathcal{L} = & \frac{g_e}{\sin \theta_W \cos \theta_W} (J_{\mu}^{(3)} - \sin^2 \theta_W J_{\mu}^{e,m}) \\ & + \frac{g_e}{\sqrt{2} \sin \theta_W} (J_{\mu} W_{\mu}^{+} + J_{\mu}^{+} W_{\mu}^{-}) \\ & + g_e J_{\mu}^{e,m} A_{\mu} \end{aligned} \quad (3)$$

Burada J_{μ} 'ler fermiyon akımlarıdır. Yukarıdaki denklemin ilk terimi zayıf nötral akım etkileşmesi (Z^0 değiş-tokuşu ile), ikinci terim zayıf yüklü akım etkileşme (W_{μ}^{\pm} değiş-tokuşu ile) ve üçüncü terim elektromanyetik etkileşme (γ değiş-tokuşu ile) dir. Bu üç etkileşmenin her biri için Feynman köşeleri şekil

1.1'de gösterilmiştir. Herbir etkileşmenin büyüklüğü θ_W ve/veya ilgili fermiyon yüküne bağlıdır.



Şekil 1.1. Elektrozayıf köşe çiftlenimleri

1.2 Bozonlar

Simetri kırılmasının sonucunda dört ayar bozonundan üçü kütle kazanır. Bozon propagatörü $\frac{1}{q^2 - m^2 c^2}$ ile orantılı olduğundan (burada q^2 momentum transferinin karesidir), elektrozayıf nötral etkileşmenin foton değiş-tokuşu küçük q^2 'lerde baskındır. Büyük momentum transferlerinde $q^2 \gg m^2 c^2$, bozon kütleleri ihmal edilebilir ve birleşik elektrozayıf etkileşme tek bir kuvvet

olarak davranır. Yüklü ayar bozonlarının (W^-, W^+), ağaç seviyesindeki kütlesi aşağıdaki şekilde verilir.

$$M_W = \frac{1}{\sin\theta_W} \sqrt{\frac{\pi\alpha}{\sqrt{2}G_F}} \approx \frac{37.3}{\sin\theta_W} \text{ GeV} \quad (4)$$

Burada α ince yapı sabiti $\alpha = \frac{e^2}{4\pi}$ ve G_F Fermi sabitidir. Her iki sabit çok iyi ölçülmüş olup $\alpha = (137.0359895(61))^{-1}$ ve $G_F = 1.16639(2) \times 10^{-5} \text{ GeV}^{-2}$ 'dir. Ara vektör bozonlarının kütleleri arasındaki bağıntı ağaç seviyesinde aşağıdaki gibidir.

$$M_W = M_Z \cos\theta_W \quad (5)$$

W^\pm ve Z parçacıkları beraber 1983 yılında UA1 deneyinde CERN $p\bar{p}$ çarpıştırıcısında keşfedildiler.

1.3. Fermiyonlar

Standart Modelde fermiyonlar iki ayrı kategoriye ayrılırlar: kuarklar ve leptonlar. Leptonlar tamsayı katlarında yüklere sahip olup temel parçacık olarak bulunurlar. Kuarklar kesirli yüklere sahip olup kuvvetli etkileşmenin renk kuvvetiyle çiftlenim yaparlar ve bu nedenle daima kuark-antikuark (mezon) veya kuark-kuark-kuark (baryon) durumlarının birinde bağlı olarak bulunurlar. Kuark ve lepton çiftlerinin bir düzenlemesiyle üç tane sol-elli zayıf izospin ikilileri (izodublet) elde edilir.

$$\begin{aligned} \text{kuarklar : } & \begin{array}{l} Q = +\frac{2}{3} \begin{pmatrix} u \\ d \end{pmatrix}_L, \begin{pmatrix} c \\ s \end{pmatrix}_L, \begin{pmatrix} t \\ b \end{pmatrix}_L \\ Q = -\frac{1}{3} \end{array} \quad \begin{array}{l} T_3 = +\frac{1}{2} \\ T_3 = -\frac{1}{2} \end{array} \\ \text{leptonlar : } & \begin{array}{l} Q = 0 \begin{pmatrix} \nu_e \\ \nu_\mu \\ \nu_\tau \end{pmatrix}_L \\ Q = -1 \begin{pmatrix} e \\ \mu \\ \tau \end{pmatrix}_L \end{array} \quad \begin{array}{l} T_3 = +\frac{1}{2} \\ T_3 = -\frac{1}{2} \end{array} \end{aligned} \quad (6)$$

Burada Q elektron yükü olan (e) cinsinden yük ve T_3 ise zayıf izospinin üçüncü bileşenidir. Yukarıdaki tüm fermiyonların eşit kütle ve zıt yüklü birer anti-parçacıkları vardır. Kütleli sağ-elli fermiyonlar izosinglet ($T_3 = 0$)

durumunda bulunurlar. Fakat S.M'de sağ eli nötrinolar yoktur.

Ayar bozonları gibi fermiyonlar da Higgs mekanizması yoluyla kütle kazanırlar. Yukarıdaki denklemde lepton ve kuarkların üç jenerasyonu artan kütleyle göre listelenmiştir. Standart Model, jenerasyon sayısı üzerine bir sınırlama koymaz. Deneysel kanıtlar hafif nötrinoları dayanarak sadece üç jenerasyon olduğunu gösterir.

1.4. Standart Model Parametreleri

Standart Modeldeki elektrozayıf çiftlenimler ve bozon kütleleri toplam üç parametreyle tam olarak tasvir edilebilir. Genellikle bu parametreler ince yapı sabiti $\alpha = \frac{e^2}{4\pi}$, Fermi sabiti $G_F = \frac{\sqrt{2} g_W^2}{8M_W^2}$ ve Z^0 bozonu kütlesi M_Z olarak seçilirler. Bunların seçilme sebebi herbirinin çok büyük duyarlılıkta ölçülebilmesindedir. Buna rağmen parametreler arasındaki bağıntılardan dolayı farklı bir parametre setinin kullanımı herhangi bir bilgi kaybına sebep olamayacaktır. Örneğin $e, \sin^2\theta_W$ ve M_W de Standart Model çiftlenimlerini ifade eder.

Gözlenebilirlerin tam bir hesabı ilave bilgi olarak fermiyon kütlelerine, Higgs bozon kütlesine ve Cabbibo-Kobayashi-Maskawa (CKM) karışım açısına ihtiyaç duyar. Parçacık kütleleri ve jenerasyon sayıları bağlantısız proseslere radyatif düzeltmeler yoluyla girerler. CKM karışım açılan kuark kütle öz durumları ve elektrozayıf öz durumlara bağlıdır.

1.5. Çiftlenimler

Şekil 1.1 elektrozayıf teoride fermiyonların ayar bozonlarıyla nasıl çiftlenim yaptıklarını gösterir. Elektromanyetik etkileşme pariteyi korur. Bu şekilde sağ ve sol-elli fermiyonların fotonla aynı şekilde etkileşimini garantiye alır. Yüklü akım etkileşmesi V-A (V eksi A) doğası gereği yalnızca sol elli fermiyonlarla çiftlenir. Yalnızca Z^0 durumunda sol ve sağ-elli çiftlenimler sıfırdan ve birbirlerinden farklıdır. Sol ve sağ-elli fermiyonlar Z^0 'a aşağıdaki şiddetlerle çiftlenirler.

$$g_L = T_3 - Q \sin^2 \theta_W \quad (7)$$

$$g_R = -Q \sin^2 \theta_W$$

Burada $g_L(g_R)$ sol(sağ) eli fermiyonların Z^0 'a çiftlenimlidir. Buna karşı gelen vektör ve axial vektör çiftlenimleri aşağıdaki gibidir.

$$g_V = g_L + g_R = T_3 - 2Q \sin^2 \theta_W \quad (8)$$

$$g_A = g_L - g_R = T_3$$

Sol ve sağ-elli çiftlenimler arasındaki farklar ileri-geri asimetrisi ve sol-sağ asimetrisi gibi birtakım ilginç fiziksel etkiler doğurur. Çizelge 1.1 fermiyon kuantum sayıları ve Z^0 'a olan sol ve sağ-elli çiftlenimleri ve vektör ve axial vektör çiftlenimleri gösterilmiştir.

g_w ve g' sabitleri dolayısıyla g_e ve $\sin^2 \theta_W$ sabitleri "koşan" çiftlenim sabitleridirler. Yani bu parametrelerin büyüklükleri, içlerinde buldukları etkileşmenin momentum transferi skalasına bağlıdır.

Çizelge 1.1. Z^0 çiftlenim sabitleri. Değişik kaynaklarda kullanılan

$c_V, c_A, g_V, g_A, g_L, g_R$ katsayıları ve aralarındaki ilişkiler

f	$c_V(g_V)$	$c_A(g_A)$	c_L	c_R	g_L	g_R
ν_e, ν_μ, ν_τ	$\frac{1}{2}$	$\frac{1}{2}$	1	0	$\frac{c_L}{2}$	$\frac{c_R}{2}$
e^-, μ^-, τ^-	$-\frac{1}{2} + 2 \sin^2 \theta_W$	$-\frac{1}{2}$	$-1 + 2 \sin^2 \theta_W$	$2 \sin^2 \theta_W$	$\frac{c_L}{2}$	$\frac{c_R}{2}$
u, c, t	$\frac{1}{2} - \frac{4}{3} \sin^2 \theta_W$	$\frac{1}{2}$	$1 - \frac{4}{3} \sin^2 \theta_W$	$-\frac{4}{3} \sin^2 \theta_W$	$\frac{c_L}{2}$	$\frac{c_R}{2}$
d, s, b	$-\frac{1}{2} + \frac{2}{3} \sin^2 \theta_W$	$-\frac{1}{2}$	$-1 + \frac{2}{3} \sin^2 \theta_W$	$\frac{2}{3} \sin^2 \theta_W$	$\frac{c_L}{2}$	$\frac{c_R}{2}$

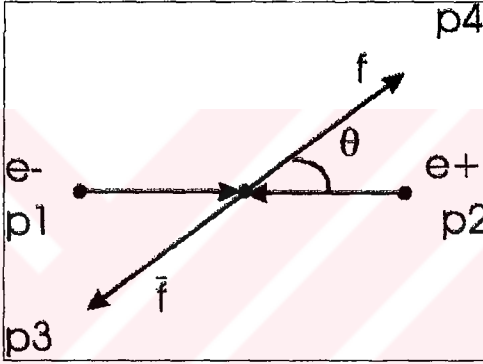
1.6. e^+e^- Çarpışmalarında Z^0 Üretimi

Z^0 'ın $p\bar{p}$ çarpıştıncılarında keşfedilmesine rağmen en iyi Z^0 çalışmaları e^+e^- çarpıştıncılarında yapılmıştır. Z^0 rezonansı yakınında, $e^+e^- \rightarrow \gamma/Z^0 \rightarrow f\bar{f}$ ($f \neq e^-$) prosesinde foton katkısı ihmal edilebilir. Elektron demetinin polarize olduğu durumda, son durum $f\bar{f}$ ($f \neq e^-$) için ağaç seviyesindeki diferansiyel tesir kesiti aşağıdaki gibidir.

$$\frac{d\sigma}{d\Omega} = \frac{N_e \alpha^2}{2} \times \frac{s}{(s - M_Z)^2 + M_Z^2 \Gamma_Z^2} \times \frac{(g_V^e)^2 + (g_A^e)^2}{\sin^2 2\theta_W} \times \frac{(g_V^f)^2 + (g_A^f)^2}{\sin^2 2\theta_W} \quad (9)$$

$$\times [(1 + \cos^2\theta)(1 + P_e A_e) + 2A_f \cos\theta(A_e + P_e)]$$

Burada N_e renk faktörü (leptonlar için 1, kuarklar için 3) ve Γ_Z ise, Z^0 rezonansının genişliğidir.



Şekil 1.2. Elektron-pozitron yokolma kinematüji

Elektron-pozitron yokolma kinematüji şekil 1.2'de gösterilmiştir. Şekildeki p_1, p_2, p_3, p_4 'ler gelen ve giden parçacıkların 4'lü momentumlarıdır. Kütle Merkezi enerjisi karesi $s = (p_1 + p_2)^2$ olarak tanımlanır ve Lorenz invariant bir nicelikdir. Diğer bir Lorenz invariant nicelik ise momentum transferinin karesi olan $t = (p_1 - p_3)^2$ dir. Saçılma açısı θ , son durum fermiyonu f ile çıkan elektron demeti eksenindeki açıdır.

Elektron demetinin polarizasyonu şöyle tanımlanır.

$$P_e = \frac{N_L^e - N_R^e}{N_L^e + N_R^e} \quad (10)$$

Burada $N_L^e (N_R^e)$ demetindeki $L(R)$ elektronların sayısıdır. A_f ise nötral akımdaki parite ihlalinin mertebesini gösteren bir nicelikdir.

$$A_f = \frac{(g_L^f)^2 - (g_R^f)^2}{(g_L^f)^2 + (g_R^f)^2} = \frac{2g_V^f g_A^f}{(g_V^f)^2 + (g_A^f)^2} \quad (11)$$

Z^0 ın fermiyonlara bozunumunun kısmi genişliğini tanımlamak uygun olur.

$$\Gamma_{\bar{f}f} = \frac{G_F M_Z^2}{6\sqrt{2}\pi} \times \left[(g_V^f)^2 + (g_A^f)^2 \right] N_c (1 + \delta_f) \quad (12)$$

Burada δ_f son durum radyasyonu için düzeltme olup leptonlar için $\frac{3\alpha}{4\pi} Q_f^2$ ve kuarklar için $\frac{3\alpha}{4\pi} Q_f^2 + \frac{\alpha_s}{4\pi}$ (α_s güçlü çitlenim sabiti) dir. Z^0 ın toplam genişliği kısmi genişliklerin toplamıdır, $\Gamma_Z = \sum_f \Gamma_{\bar{f}f}$.

Denklem 9 , elektrozayıf parametreleri çıkarmak için birçok farklı yolla kullanılabilir. Bazı metodlar belirli bir son durumun diğer durumlardan yalıtılmasını gerektirir, buna dışarılayan (exclusive) ölçüm denir; diğer metodlar ise yalnızca tüm son durumlar üzerinden toplam almayı gerektirir, bunlara da inklusif (inclusive) ölçüm denir. Aşağıdaki metodların hepsi dışarılayan ölçüm metodudur.

- Polarize olmayan demetlerle Kütle Merkezi enerjisi \sqrt{s} farklı değerler için skalayı tararken, inklusif ve dışarılayan diferansiyel tesir kesiti ve/veya toplam tesir kesiti ölçülür. Bu bize M_Z, Γ_Z ve $\Gamma_{\bar{f}f}$ 'i verir.
- Polarize olmayan bir demetle dışarılayan son durumlar için ileri-geri asimetrisi ölçülür.

$$A_{fb} = \frac{\int_0^1 \frac{d\sigma}{d\cos\theta} d\cos\theta - \int_{-1}^0 \frac{d\sigma}{d\cos\theta} d\cos\theta}{\int_0^1 \frac{d\sigma}{d\cos\theta} d\cos\theta + \int_{-1}^0 \frac{d\sigma}{d\cos\theta} d\cos\theta} \quad (13)$$

- Polarize elektron demetiyle her bir helisite için toplam tesir kesiti ölçülür. Buna sol-sağ asimetrisi denir.

$$A_{LR} = \frac{\sigma_L - \sigma_R}{\sigma_L + \sigma_R} \quad (14)$$

- Polarize bir elektron demetiyle dışarılayan son durumlar için polarize ileri-geri asimetrisi ölçülür.

$$\tilde{A}_{\beta} = \frac{\left[\int_0^1 \frac{d\sigma}{dz} dz - \int_{-1}^0 \frac{d\sigma}{dz} dz \right]_L - \left[\int_0^1 \frac{d\sigma}{dz} dz - \int_{-1}^0 \frac{d\sigma}{dz} dz \right]_R}{\left[\int_0^1 \frac{d\sigma}{dz} dz - \int_{-1}^0 \frac{d\sigma}{dz} dz \right]_L + \left[\int_0^1 \frac{d\sigma}{dz} dz - \int_{-1}^0 \frac{d\sigma}{dz} dz \right]_R} \quad (15)$$

Burada $z \equiv \cos\theta$ 'dir. Yukarıdaki yöntemlerden ilki Z^0 'ın kütlelerini, kısmi genişliğini ve toplam genişliğini büyük duyarlılıkta ölçmeye izin verir. Kısmi genişlikler , fermiyonlar ve Z^0 arasındaki axial vektör çiftlenimine çok duyarlıdır. Yukarıdaki son üç metod ise fermiyon ve Z^0 arasındaki vektör çiftlenimine duyarlı, dolayısıyla $\sin^2\theta_W$ 'ya daha da duyarlıdır. Tüm bu duyarlılıklar yukarıdaki tüm ölçümleri birbirini tamamlayıcı yapar.

1.7. Sol-Sağ Asimetrisi

Sol-sağ asimetrisi A_{LR} , elektrozayıf karışım açısını ölçmenin sağlıklı ve duyarlı bir yöntemidir. Bu anlamda tesir kesiti asimetrisi oluşturulduğunda son durum çiftlenimlerine olan bağıllık ortadan kalkar. A_{LR} , başlangıç durumu için elektronun Z^0 'a olan çiftleniminin bir ölçüsüdür. A_{LR} , son durum çiftlenimlerinden bağımsız olduğundan tüm son durumlar kullanılarak (e^+e^- hariç, t kanal foton değiş-tokuşundan dolayı) istatistiksel bir avantaj elde edilir. Dahası A_{LR} ölçümü için mutlak liminisite veya dedektör kabulü ve verimliliğini bilmeye gerek yoktur.

Ölçülen nicelik aslında deneysel asimetri olan A_{LR}^{exp} 'dir.

$$A_{LR}^{\text{exp}} = \frac{N_L - N_R}{N_L + N_R} = P_e A_{LR} \quad (16)$$

Burada $N_L(N_R)$, Z^0 'ın sol(sağ) eli elektron demetleriyle beraber bulunan bozunum sayısıdır. A_{LR} ölçümündeki iki önemli deneysel hata istatistiksel

hata ve demet polarizasyonu ölçümündeki hatadır.

$$\delta A_{LR} = \sqrt{\frac{1}{P_e^2 N_{tot}} + A_{LR}^2 \left(\frac{\delta P_e}{P_e} \right)^2} \quad (17)$$

Burada $N_{tot} = N_L + N_R$ ve δP_e elektron demet polarizasyonu ölçümündeki belirsizliktir. Denklem 17'dan sol-sağ asimetrisi üzerindeki istatistiksel hatanın $\frac{1}{\sqrt{N} P_e}$ 'ye indirgenebileceği görülebilir. Buradan demet polarizasyonunu ikiye katılmanın Z^0 bozunum sayısını dört kat artırmaya eşdeğer olduğu görülebilir.

1.8. Radyatif Düzeltmeler

Tüm elektrozayıf gözlenebilirler radyatif düzeltmeler yoluyla Born seviyesindeki beklentilerinden saparlar. Radyatif düzeltmeler Breit-Wigner'in büyük Z^0 katkısından dolayı elektron-pozitron yokolması sürecinde Z^0 rezonansı yakınlarında özellikle önemlidir.

Radyatif düzeltmeler genellikle pertürbasyon teorisi tarafından ele alınır. Bu metod küçük çiftlenim sabitleri nedeniyle hassastır. Elektromanyetik radyatif düzeltmeler için pertürbasyonun α cinsinden açılımı hızla yakınsar. Düşük mertebe radyatif düzeltmelerin dört büyük sınıfı vardır: Bremsstrahlung, köşe düzeltmeleri, kutu diagramlar ve indirekt düzeltmeler. Bu dört prosesin örnekleri şekil 1.3'te gösterilmiştir. Bremsstrahlung, e^+e^- sisteminde kütle merkezi enerjisini düşürücü etki yaparken, kütle merkezini demet eksenini boyunca artırır. İndirekt düzeltmeler ayar bozonlarıyla etkileşen yeni ağır parçacıklar için de duyarlıdır.

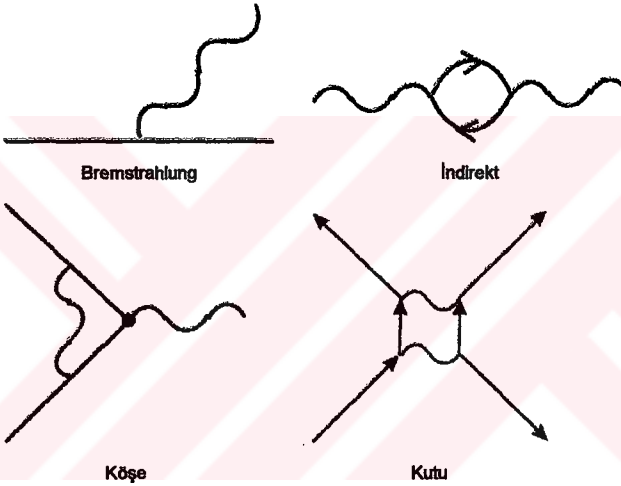
Farklı prosesler radyatif düzeltmeler tarafından farklı etkilenirler. Z^0 tesir kesiti başlangıç durum Bremsstrahlung'u sebebiyle %30 düşer ve 100 MeV kayar. Sol-sağ asimetrisi ağır fermiyonlara indirekt ve başlangıç zayıf köşe düzeltmeleri yoluyla çok duyarlıdır.

Standart Model parametreleri, koşan çiftlenimleri ve radyatif düzeltmeleri emecek şekilde yeniden tanımlanabilir. Bu parametreler deneysel olarak elde edilebilirler. Efektif çiftlenim, üzerinde bir çizgiyle tanımlanabilir. Efektif elektron vektör ve axial vektörün Z^0 'a çiftlenimleri ($\sqrt{s} = M_Z$ de hesaplandı) \bar{g}_V^e ve \bar{g}_A^e olarak gösterilebilir. Zayıf karışım açısını tarif etmenin birçok yolu

vardır. Buradaki tanım denklem 8'i takiben yazılmıştır.

$$\sin^2\theta_W^{\text{eff}} = \frac{1}{4} \left(1 - \frac{\bar{g}_V^e}{\bar{g}_A^e} \right) \quad (18)$$

Bu tanım zayıf karışım açısı üzerindeki düzeltmelerin efektif çiftlenim sabitleri tarafından emilmesine izin verir.



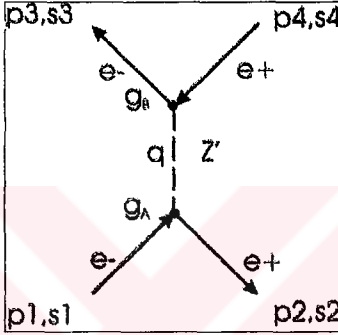
Şekil 1.3. Birinci mertebeye radyatif diagramlara örnek prosesler

1.9. Standart Model Ötesi

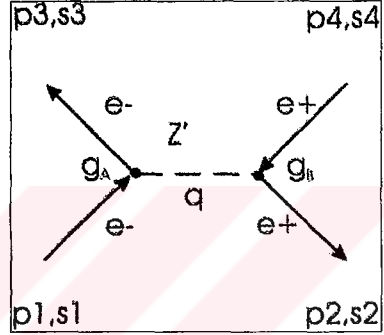
Bhabba saçılmasının Standart Model çerçevesinde incelenmesi ikinci bölümde yapılmıştır. Beklenen diferansiyel tesir kesitindeki herhangi bir farklılık Standart Model ötesi bir fiziğe ait bir gösterge olabilir. e^+e^- ve $p\bar{p}$ makinelerindeki direkt ölçümler Z^0 kütlesinde veya altında Standart Model ötesi bir fiziğin varlığı olasılığını ortadan kaldırmıştır. Z^0 rezonansında görülen farklılıklar büyük ihtimalle yüksek enerjilerdeki yeni bir fiziğin düşük enerjilerdeki göstergesidir.

Birkaç Standart Model uzantısı teoriler önerilmiştir. Bunlar polarize elektron demetiyle yapılmış diferansiyel Bhabba saçılmasındaki sapmalardan tanınabilir. Bu bölüm şu üç başlığı inceleyecektir: Bir ya da daha fazla ilave ayar bozonu, kontakt etkileşmeler ve dördüncü bir ailenin varlığı.

1.9.1. İlave Ayar bozonları (Z')



Şekil 1.4. Z' bozon s kanal katkısı



Şekil 1.5. Z' bozon t kanal katkısı

Standart $SU(2)_L \times U(1)$ simetri grubuna yapılacak birçok ekleni bir ya da daha fazla nötral ayar bozonu gerektirir. Bu teoriler $SU(2)_L \times U(1)$ grubunu daha büyük bir birleşik grubun alt grubu olarak içerirler. Bunların bazıları E_6 , $SO(10)$ ve $SU(2)_L \times SU(2)_R \times U(1)$ teorileridir. Modeller genellikle Z' nün kuark ve leptonlarla yaptığı çiftlenim gücünü belirler fakat Z' nün kütlesi üzerinde herhangi bir öngöründe bulunmazlar.

Bugün ilave Z' bozonunun varlığına yönelik herhangi bir deneysel kanıt yoktur. $M_{Z'}$ üzerindeki deneysel limit 412 GeV dir. Bu limit Z' ve leptonlar arasında Standart Model çiftlenim kuvveti olduğunu varsayar.

Z ve Z' bozonları Standart Modelin $SU(2)_L \times U(1)$ grubu ve Standart Modeli uzatan $U(1)$ yada $SU(2)_R$ gruplarının karışımından oluşur. Bozonların kütlesi özdeşlikleri etkileşme özdeşliklerinden farklı olabilir.

$$\begin{pmatrix} Z \\ Z' \end{pmatrix} = \begin{pmatrix} \cos\theta_M & \sin\theta_M \\ -\sin\theta_M & \cos\theta_M \end{pmatrix} \begin{pmatrix} Z^0 \\ Z'^0 \end{pmatrix} \quad (19)$$

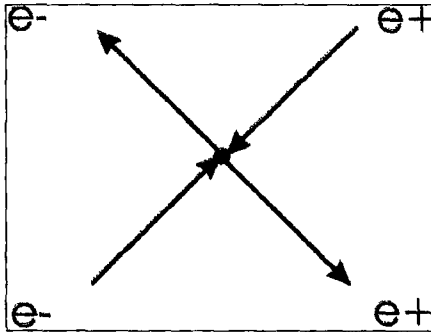
Burada Z^0 ve Z'^0 simetri öz durumları ve Z ve Z' ise kütle öz durumlarıdır. Bozon kütleleri, karışım açısı θ_M 'e aşağıdaki şekilde bağlıdır.

$$\tan^2\theta_M = \frac{m_0^2 - m_Z^2}{m_{Z'}^2 - m_0^2} \quad (20)$$

Burada m_0 karışım olmadığına standart Z bozonu kütesidir. Z^0 rezonansında yapılan bir analiz $Z-Z'$ karışım açısını $-0.05 \leq \theta_M \leq 0.0015$ aralığına sınırlandırır. 500 GeV'lik bir Z' ve $\theta_M = 0.005$ lik bir karışım açısıyla ölçülen Z^0 kütle, karışım olmadığı durumda ölçülen kütesinden yaklaşık olarak 34 MeV sapacaktır.

$e^+e^- \rightarrow f\bar{f}$ ($f \neq e^-$) durumunda Z' s-kanala katkıda bulunacak ve s-kanal fotonu ve Z^0 'la girişim yapacaktır. Bhabba saçılmasında ise Z' hem s hem de t kanal terimlerine katkıda bulunacaktır. Z' nün Bhabba saçılmasına olan katkıları şekil 1.4 ve 1.5'te gösterilmiştir. Z' nün büyük Z^0 rezonansı nedeniyle polarize $e^+e^- \rightarrow e^+e^-$ saçılmasında Z^0 yakınlarındaki etkisinin çok küçük olacağı umulmaktadır.

1.9.2. Kontakt etkileşmeler



Şekil 1.6. Kontakt etkileşmeler

Maddenin kuark ve leptonlardan oluştuğuna dayanarak, leptonların ve kuarkların da bir altyapısı olabileceği hipotezi ortaya atılabilir. Bu teoriler kompozit teoriler olarak bilinirler. Bu teorilerde Standart Modelin bozonları ve fermiyonları, bazen "preonlar" olarak da adlandırılan altparçacıklardan oluşur.

Yapı kendisini iki şekilde gösterir. İlki, daha büyük kütle ve büyük olasılıkla egzotik kuantum sayılarına sahip uyarılmış lepton ve kuarklar' varolabilir. İkincisi, kompozit bağ durumu Standart Model ötesi bir etkileşmeyle ortaya çıkabilir. Her iki durumda da kompozit sistemin enerji skalası Λ parametresiyle belirlenir ve elektrozayıf simetri kırılmasından ya büyük yada aynı mertebededir ($\lesssim 1 \text{ TeV}$).

Bugün kompozit parçacıkların varlığı üzerine herhangi bir deneysel kanıt yoktur. Uyarılmış elektronun kütlesi üzerinde şimdiki limit 225 GeV dir. Enerji skalası Λ , Z^0 rezonansı saçılma enerjisinden çok daha büyük olduğundan propagatörün momentumu kütleyle kıyaslandığında ihmal edilebilir. Bu durumda etkileşme noktasal yada kontakt etkileşme olur. Bu etkileşmedeki fermiyon akımları helisiteyi korur, çeşni (flavor) diagonaldir fakat pariteyi mutlaka korunmak zorunda değildir.

Polarize Bhabba saçılması kontakt etkileşmeleri araştırmak için iki sebepten iyi bir methodur. İlki, $e^+e^- \rightarrow e^+e^-$ prosesi yalnızca elektronun kompozit yapısını araştırır. İkincisi, eğer aslında kontakt etkileşme pariteyi ihlal ediyorsa, elektron polarizasyonu kontakt etkileşmenin helisiteyi koruyan doğasına ilave hassasiyet verecektir. Şekil 1.6 kontakt etkileşmenin Feynman diagramını göstermektedir. Bu terim standart $e^+e^- \rightarrow e^+e^-$ Feynman diagramlarına ilave edilmelidir.

1.9.3. Dördüncü jenerasyon

Standart Model kuark ve lepton jenerasyonlarının sayısı üzerine herhangi bir limit koymaz. Hafif nötrino jenerasyonlarının sayısı LEP ölçümlerinde kabaca 3 olarak belirlenmiştir. Bu kanıt şaşırtıcı olmasına rağmen dördüncü bir ağır jenerasyonun varlığı olasılığını engellemez. SLC ve LEP teki direkt ölçümler kütlesi kabaca Z^0 'ın kütlesinin yarısından az, yüklü veya nötral ağır leptonların var olmadığını göstermiştir. Kuark sektöründe ise direkt ölçümler kütlesi 200 GeV in altında dördüncü nesil down-tip kuarkın var olmadığını göstermiştir.

Buna rağmen eğer ilave jenerasyonlar varsa Z^0 civarındaki ölçümlerde radyatif düzeltmelerde kendilerini göstermelidirler. İlave olarak bir dördüncü jenerasyon A_{LR} in da çok duyarlı olduğu köşe ve indirekt radyatif düzeltmelerin katkılarını güçlü bir şekilde değiştirecektir. Açıkça A_{LR} ölçümü ilave ağır fermiyonlar için en iyi düşük enerji testidir.

2. FERMİYONLARIN ELLİLİK DURUMLARI

Elektromanyetik ve zayıf kuvvetler arasında yapısal bir farklılık vardır. İlk bakışta bu iki etkileşimin birleştirilemez olduğu düşünülebilir. İki tamamen vektörel (γ^μ), oysa ikincisi vektör ve axial vektör parçalarını içerir. \mathbb{W}^z durumunda bu karışım maksimal V-A formundadır, $\gamma^\mu(1-\gamma^5)$. Elektromanyetik ve zayıf kuvvetleri birleştirirken karşılaşılan bu zorluk $(1-\gamma^5)$ terimini parçacık spinörlerinin içine atarak aşılabılır. Özel olarak aşağıdaki tanım yapılabilir.

$$u_L(p) \equiv \frac{(1-\gamma^5)}{2}u(p) \quad (1)$$

Burada (L) altındisi parçacığın "sol eli" olduğu anlamına gelir. Sol ellilik helisite özdeğerleriyle karıştırılmamalıdır. Yalnızca parçacığın kütsüz olduğu durumda ve ultrarölativistik bölgede helisite ve ellilik özdeğerleri çakışır. Denklem 1'den

$$\gamma^5 u(p) = \begin{pmatrix} \frac{c(p,\sigma)}{E+mc^2} & 0 \\ 0 & \frac{c(p,\sigma)}{E-mc^2} \end{pmatrix} \quad (2)$$

Parçacığın kütsüz olduğu durumda $E = |p|c$ ve

$$\gamma^5 u(p) = (\hat{p} \cdot \Sigma) u(p) \quad (3a)$$

$$\Sigma = \begin{pmatrix} \sigma & 0 \\ 0 & \sigma \end{pmatrix} \quad (3b)$$

Burada $\frac{\hbar}{2} \Sigma$ dirac parçacıkları için spin matrisi ve bundan dolayı $(\hat{p} \cdot \Sigma)$, ± 1 özdeğerli helisite özdeğerleridir. Sonuç olarak

$$\left(\frac{1-\gamma^5}{2} \right) u(p) = \left\{ \begin{array}{l} 0 \quad \text{Eğer } u(p) \text{ helisite } +1 \text{ değerini taşıyorsa} \\ u(p) \quad \text{Eğer } u(p) \text{ helisite } -1 \text{ değerini taşıyorsa} \end{array} \right\} \quad (4)$$

Burada $\frac{1}{2}(1 - \gamma^5)$ projeksiyon operatörü olarak davranır ve $u(p)$ 'nin helisite -1 özdeğerini dışarı çıkarır. Diğer yandan parçacık kütlelessiz değilse denklem (3a) yalnızca ultrarölativistik bölgede ($E \gg mc^2$) yaklaşık olarak geçerlidir ve yalnızca bu limitte u_L helisite -1 değerini taşıyor denir. Rölativistik olmayan bölgede ise u_L 'e yalnızca "sol-elli" denir. Antiparçacıklar için denklem (3a)

$$\gamma^5 v(p) = -(\hat{p} \cdot \Sigma) v(p) \quad (5)$$

olduğundan sol-elli antiparçacık

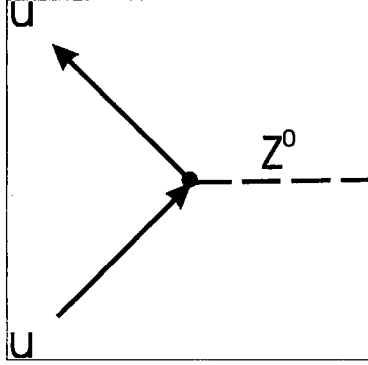
$$v_L(p) \equiv \frac{(1 + \gamma^5)}{2} v(p) \quad (6)$$

olarak tanımlanır. Burada tüm yapılanlar yalnızca notasyon ve terminolojiden ibarettir. Fakat elektromanyetik ve zayıf etkileşimleri birleştirirken çok büyük kolaylık sağlarlar. Çizelge 2.1'de parçacık ve antiparçacıklar için ellilik tanımları yapılmıştır.

Çizelge 2.1. Fermiyon ellilik tanımları

Parçacıklar	Antiparçacıklar
$u_L(p) \equiv \left(\frac{1 - \gamma^5}{2} \right) u(p)$	$v_L(p) \equiv \left(\frac{1 + \gamma^5}{2} \right) v(p)$
$u_R(p) \equiv \left(\frac{1 + \gamma^5}{2} \right) u(p)$	$v_R(p) \equiv \left(\frac{1 - \gamma^5}{2} \right) v(p)$
$\bar{u}_L(p) \equiv \bar{u}(p) \left(\frac{1 + \gamma^5}{2} \right)$	$\bar{v}_L(p) \equiv \bar{v}(p) \left(\frac{1 - \gamma^5}{2} \right)$
$\bar{u}_R(p) \equiv \bar{u}(p) \left(\frac{1 - \gamma^5}{2} \right)$	$\bar{v}_R(p) \equiv \bar{v}(p) \left(\frac{1 + \gamma^5}{2} \right)$

2.1. Yüksüz Zayıf Akım



Şekil 2.1. NC –Parçacık etkileşmesi

Yüksüz zayıf akımın parçacıklarla olan etkileşme köşesi şekil 2.1'de gösterilmiştir. Yüksüz akım etkileşme terimi aşağıdaki gibi yazılabilir.

$$\bar{u} \left[-\frac{ig_Z}{2} \gamma^\mu (c_V^f - c_A^f \gamma^5) \right] u = \bar{u} \left[-\frac{ig_Z}{2} c_V^f \gamma^\mu \right] u + \bar{u} \left[\frac{ig_Z}{2} c_A^f \gamma^\mu \gamma^5 \right] u \quad (7)$$

Yukarıdaki her iki terim ayrı ayrı incelenirse, ilkinden aşağıdaki eşitlik bulunur.

$$\bar{u} \left[-\frac{ig_Z}{2} \gamma^\mu c_V^f \right] u = \bar{u} \left[-\frac{ig_Z}{2} \gamma^\mu c_V^f \right] \left[\left(\frac{1+\gamma^5}{2} \right)^2 + \left(\frac{1-\gamma^5}{2} \right)^2 \right] u \quad (8a)$$

$$= \left\{ \begin{array}{l} \bar{u} \left[-\frac{ig_Z}{2} c_V^f \gamma^\mu \right] \left(\frac{1+\gamma^5}{2} \right)^2 u \\ + \bar{u} \left[-\frac{ig_Z}{2} c_V^f \gamma^\mu \right] \left(\frac{1-\gamma^5}{2} \right)^2 u \end{array} \right\} \quad (8b)$$

$$= \bar{u}_R \left[-\frac{ig_Z}{2} c_V^f \gamma^\mu \right] u_R + \bar{u}_L \left[-\frac{ig_Z}{2} c_V^f \gamma^\mu \right] u_L \quad (8c)$$

Burada $\left(\frac{1+\gamma^5}{2} \right)^2 + \left(\frac{1-\gamma^5}{2} \right)^2 = 1$ 'dir. İkinci terim için de benzer işlemler yapılır.

$$\bar{u} \left[\frac{igz}{2} c_A^f \gamma^\mu \gamma^5 \right] u = \bar{u} \left[\frac{igz}{2} c_A^f \gamma^\mu \gamma^5 \right] \left[\left(\frac{1+\gamma^5}{2} \right)^2 + \left(\frac{1-\gamma^5}{2} \right)^2 \right] u \quad (9a)$$

$$= \left\{ \begin{array}{l} \bar{u} \left[\frac{igz}{2} c_A^f \gamma^\mu \gamma^5 \right] \left(\frac{1+\gamma^5}{2} \right)^2 u \\ + \bar{u} \left[\frac{igz}{2} c_A^f \gamma^\mu \gamma^5 \right] \left(\frac{1-\gamma^5}{2} \right)^2 u \end{array} \right\} \quad (9b)$$

$$= \bar{u}_R \left[\frac{igz}{2} c_A^f \gamma^\mu \right] u_R + \bar{u}_L \left[-\frac{igz}{2} c_A^f \gamma^\mu \gamma^5 \right] u_L \quad (9c)$$

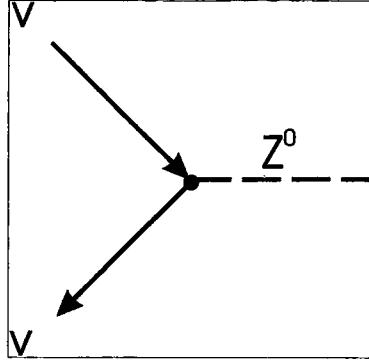
Her iki terim birleştirilir ve $c_L \equiv c_V^f + c_A^f$, $c_R \equiv c_V^f - c_A^f$ denklikleri kullanılırsa aşağıdaki eşitlik elde edilir.

$$\bar{u} \left[-\frac{igz}{2} \gamma^\mu (c_V^f - c_A^f \gamma^5) \right] u = \left\{ \begin{array}{l} \bar{u}_R \left[-\frac{igz}{2} c_V^f \gamma^\mu \right] u_R + \bar{u}_L \left[-\frac{igz}{2} c_V^f \gamma^\mu \right] u_L \\ + \bar{u}_R \left[\frac{igz}{2} c_A^f \gamma^\mu \right] u_R + \bar{u}_L \left[-\frac{igz}{2} c_A^f \gamma^\mu \right] u_L \end{array} \right\} \quad (10a)$$

$$= \left\{ \begin{array}{l} \bar{u}_R \left[-\frac{igz}{2} \gamma^\mu (c_V^f - c_A^f) \right] u_R \\ + \bar{u}_L \left[-\frac{igz}{2} \gamma^\mu (c_V^f + c_A^f) \right] u_L \end{array} \right\} \quad (10b)$$

$$= \bar{u}_R \left[-\frac{igz}{2} \gamma^\mu c_R \right] u_R + \bar{u}_L \left[-\frac{igz}{2} \gamma^\mu c_L \right] u_L \quad (10c)$$

Yüksüz zayıf akımın antiparçacıklarla etkileşme köşesi şekil 2.2'de gösterilmiştir.



Şekil 2.2. NC –Antiparçacık etkileşmesi

$$\bar{\nu} \left[-\frac{igz}{2} \gamma^\mu (c'_V - c'_A \gamma^5) \right] \nu = \bar{\nu} \left[-\frac{igz}{2} c'_V \gamma^\mu \right] \nu + \bar{\nu} \left[\frac{igz}{2} c'_A \gamma^\mu \gamma^5 \right] \nu \quad (11)$$

İlk terim açılırsa:

$$\bar{\nu} \left[-\frac{igz}{2} c'_V \gamma^\mu \right] \nu = \bar{\nu} \left[-\frac{igz}{2} c'_V \gamma^\mu \right] \left[\left(\frac{1+\gamma^5}{2} \right)^2 + \left(\frac{1-\gamma^5}{2} \right)^2 \right] \nu \quad (12a)$$

$$= \left\{ \begin{array}{l} \bar{\nu} \left[-\frac{igz}{2} c'_V \gamma^\mu \right] \left(\frac{1+\gamma^5}{2} \right)^2 \nu \\ + \bar{\nu} \left[-\frac{igz}{2} c'_V \gamma^\mu \right] \left(\frac{1-\gamma^5}{2} \right)^2 \nu \end{array} \right\} \quad (12b)$$

$$= \bar{\nu}_L \left[-\frac{igz}{2} c'_V \gamma^\mu \right] \nu_L + \bar{\nu}_R \left[-\frac{igz}{2} c'_V \gamma^\mu \right] \nu_R \quad (12c)$$

İkinci terim ise

$$\bar{\nu} \left[\frac{igz}{2} c_A^f \gamma^\mu \gamma^5 \right] \nu = \bar{\nu} \left[\frac{igz}{2} c_A^f \gamma^\mu \gamma^5 \right] \left[\left(\frac{1+\gamma^5}{2} \right)^2 + \left(\frac{1-\gamma^5}{2} \right)^2 \right] \nu \quad (13a)$$

$$= \left\{ \begin{array}{l} \bar{\nu} \left[\frac{igz}{2} c_A^f \gamma^\mu \gamma^5 \right] \left(\frac{1+\gamma^5}{2} \right)^2 \nu \\ + \bar{\nu} \left[\frac{igz}{2} c_A^f \gamma^\mu \gamma^5 \right] \left(\frac{1-\gamma^5}{2} \right)^2 \nu \end{array} \right\} \quad (13b)$$

$$= \bar{\nu}_L \left[\frac{igz}{2} c_A^f \gamma^\mu \right] \nu_L + \bar{\nu}_R \left[-\frac{igz}{2} c_A^f \gamma^\mu \right] \nu_R, \quad (13c)$$

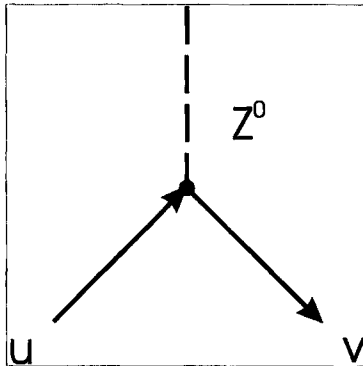
Her ikisinin toplamı

$$\bar{\nu} \left[-\frac{igz}{2} \gamma^\mu (c_V^f - c_A^f \gamma^5) \right] \nu = \left\{ \begin{array}{l} \bar{\nu}_L \left[-\frac{igz}{2} c_V^f \gamma^\mu \right] \nu_L + \bar{\nu}_R \left[-\frac{igz}{2} c_V^f \gamma^\mu \right] \nu_R \\ + \bar{\nu}_L \left[\frac{igz}{2} c_A^f \gamma^\mu \right] \nu_L + \bar{\nu}_R \left[-\frac{igz}{2} c_A^f \gamma^\mu \right] \nu_R \end{array} \right\} \quad (14a)$$

$$= \left\{ \begin{array}{l} \bar{\nu}_L \left[-\frac{igz}{2} \gamma^\mu (c_V^f - c_A^f) \right] \nu_L \\ + \bar{\nu}_R \left[-\frac{igz}{2} \gamma^\mu (c_V^f + c_A^f) \right] \nu_R \end{array} \right\} \quad (14b)$$

$$= \bar{\nu}_L \left[-\frac{igz}{2} \gamma^\mu c_R \right] \nu_L + \bar{\nu}_R \left[-\frac{igz}{2} \gamma^\mu c_L \right] \nu_R \quad (14c)$$

Yüksüz zayıf akımın bir parçacık ve bir antiparçacıkla olan etkileşme köşesi şekil 2.3 te gösterilmiştir.



Şekil 2.3. NC - (anti)parçacık etkileşmesi

$$\nabla \left[-\frac{igz}{2} \gamma^\mu (c'_V - c'_A \gamma^5) \right] u = \nabla \left[-\frac{igz}{2} \gamma^\mu c'_V \right] u + \nabla \left[\frac{igz}{2} \gamma^\mu c'_A \gamma^5 \right] u \quad (15)$$

İlk terim geliştirilirse:

$$\nabla \left[-\frac{igz}{2} \gamma^\mu c'_V \right] u = \nabla \left[-\frac{igz}{2} \gamma^\mu c'_V \right] \left[\left(\frac{1+\gamma^5}{2} \right)^2 + \left(\frac{1-\gamma^5}{2} \right)^2 \right] u \quad (16a)$$

$$= \left\{ \begin{array}{l} \nabla \left[-\frac{igz}{2} \gamma^\mu c'_V \right] \left(\frac{1+\gamma^5}{2} \right)^2 u \\ + \nabla \left[-\frac{igz}{2} \gamma^\mu c'_V \right] \left(\frac{1-\gamma^5}{2} \right)^2 u \end{array} \right\} \quad (16b)$$

$$= \nabla_L \left[-\frac{igz}{2} \gamma^\mu c'_V \right] u_R + \nabla_R \left[-\frac{igz}{2} \gamma^\mu c'_V \right] u_L \quad (16c)$$

İkinci terim için

$$\nabla \left[\frac{igz}{2} \gamma^\mu c'_A \gamma^5 \right] u = \nabla \left[\frac{igz}{2} \gamma^\mu c'_A \gamma^5 \right] \left[\left(\frac{1+\gamma^5}{2} \right)^2 + \left(\frac{1-\gamma^5}{2} \right)^2 \right] u \quad (17a)$$

$$= \left\{ \begin{array}{l} \nabla \left[\frac{igz}{2} \gamma^\mu c'_A \gamma^5 \right] \left(\frac{1+\gamma^5}{2} \right)^2 u \\ + \nabla \left[\frac{igz}{2} \gamma^\mu c'_A \gamma^5 \right] \left(\frac{1-\gamma^5}{2} \right)^2 u \end{array} \right\} \quad (17b)$$

$$= \nabla_L \left[\frac{igz}{2} \gamma^\mu c'_A \right] u_R + \nabla_R \left[-\frac{igz}{2} \gamma^\mu c'_A \right] u_L \quad (17c)$$

Her ikisinin toplamı

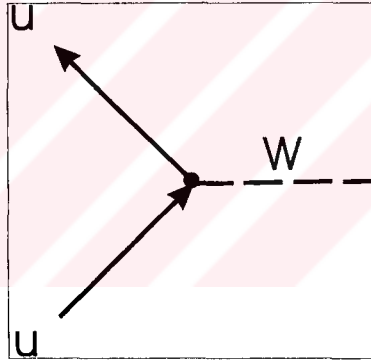
$$\bar{\nu} \left[-\frac{igz}{2} \gamma^\mu (c_V^f - c_A^f \gamma^5) \right] u = \left\{ \begin{array}{l} \bar{\nu}_L \left[-\frac{igz}{2} \gamma^\mu c_V^f \right] u_R + \bar{\nu}_R \left[-\frac{igz}{2} \gamma^\mu c_V^f \right] u_L \\ + \bar{\nu}_L \left[\frac{igz}{2} \gamma^\mu c_A^f \right] u_R + \bar{\nu}_R \left[-\frac{igz}{2} \gamma^\mu c_A^f \right] u_L \end{array} \right\} \quad (18a)$$

$$= \left\{ \begin{array}{l} \bar{\nu}_L \left[-\frac{igz}{2} \gamma^\mu (c_V^f - c_A^f) \right] u_R \\ + \bar{\nu}_R \left[-\frac{igz}{2} \gamma^\mu (c_V^f + c_A^f) \right] u_L \end{array} \right\} \quad (18b)$$

$$= \bar{\nu}_L \left[-\frac{igz}{2} \gamma^\mu c_R \right] u_R + \bar{\nu}_R \left[-\frac{igz}{2} \gamma^\mu c_L \right] u_L \quad (18c)$$

olarak bulunmuş olur.

2.2. Yüklü Zayıf Akım



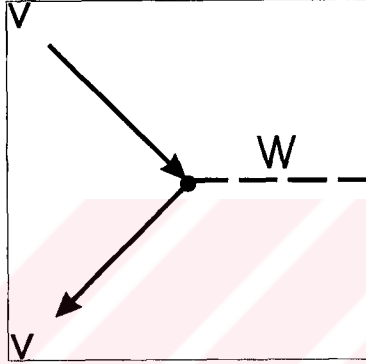
Şekil 2.4. W-Parçacık etkileşmesi

Yüklü zayıf akımın parçacıklarla olan etkileşme köşesi şekil 2.4'te gösterilmiştir. Etkileşme köşe terimleri yerine yazıldığında aşağıdaki denklemler elde edilir.

$$\bar{u} \left[-\frac{ig_W}{2\sqrt{2}} \gamma^\mu (1 - \gamma^5) \right] u = \bar{u} \left[-\frac{ig_W}{\sqrt{2}} \gamma^\mu \right] \left(\frac{1 - \gamma^5}{2} \right)^2 u \quad (19a)$$

$$= \bar{u}_L \left[-\frac{ig_W}{\sqrt{2}} \gamma^\mu \right] u_L \quad (19b)$$

Görüldüğü gibi yüklü akım sadece sol eli leptonlarda gözlenir. $(1 - \gamma^5)$ terimi etkileşmenin kendisinden çok etkileşmeye katılan parçacıkların hangi ellilikte olacağını gösterir. Yüklü zayıf akımın antiparçacıklarla olan etkileşme köşesi şekil 2.5'te gösterilmiştir. Köşe faktörler yerine yazıldığında denklem 20a(b) elde edilir.

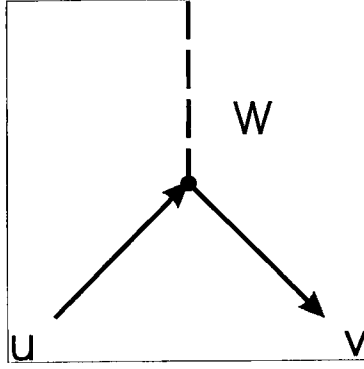


Şekil 2.5. W-Antiparçacık etkileşmesi

$$\bar{\nu} \left[-\frac{ig_W}{2\sqrt{2}} \gamma^\mu (1 - \gamma^5) \right] \nu = \bar{\nu} \left[-\frac{ig_W}{\sqrt{2}} \gamma^\mu \right] \left(\frac{1 - \gamma^5}{2} \right)^2 \nu \quad (20a)$$

$$= \bar{\nu}_R \left[-\frac{ig_W}{\sqrt{2}} \gamma^\mu \right] \nu_R \quad (20b)$$

Görüldüğü gibi antiparçacık durumunda etkileşmeye sadece sağ elliler girmektedir. Yüklü zayıf akımın parçacık ve antiparçacıklarla etkileşme köşesi şekil 2.6'da gösterilmiştir.



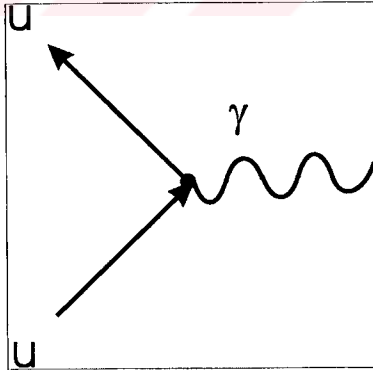
Şekil 2.6. W-(Anti)parçacık etkileşmesi

$$\bar{\nu} \left[-\frac{ig_W}{2\sqrt{2}} \gamma^\mu (1 - \gamma^5) \right] u = \bar{\nu} \left[-\frac{ig_W}{\sqrt{2}} \gamma^\mu \right] \left(\frac{1 - \gamma^5}{2} \right)^2 u \quad (21a)$$

$$= \bar{\nu}_R \left[-\frac{ig_W}{\sqrt{2}} \gamma^\mu \right] u_L \quad (21b)$$

Burada etkileşmeye parçacık sol eli, antiparçacık ise sağ eli girmiştir.

2.3. Elektromanyetik Akım



Şekil 2.7. Foton-Parçacık etkileşmesi

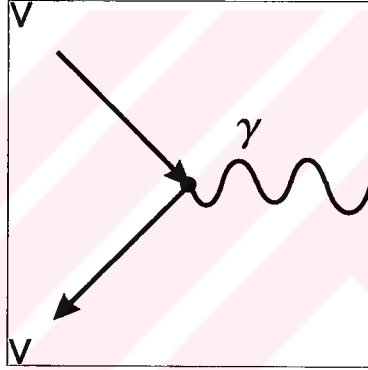
Elektromanyetik akımın parçacıklarla etkileşme köşesi şekil 2.7'de gösterilmiştir. Elektromanyetik etkileşme terimi aşağıdaki gibidir.

$$\bar{u}[ig_e\gamma^\mu]u = \bar{u}[ig_e\gamma^\mu] \left[\left(\frac{1+\gamma^5}{2} \right)^2 + \left(\frac{1-\gamma^5}{2} \right)^2 \right] u \quad (22a)$$

$$= \bar{u}[ig_e\gamma^\mu] \left(\frac{1+\gamma^5}{2} \right)^2 u + \bar{u}[ig_e\gamma^\mu] \left(\frac{1-\gamma^5}{2} \right)^2 u \quad (22b)$$

$$= \bar{u}_R[ig_e\gamma^\mu]u_R + \bar{u}_L[ig_e\gamma^\mu]u_L \quad (22c)$$

Elektromanyetik akımın antiparçacıklarla olan etkileşme köşesi şekil 2.8'de gösterilmiştir.



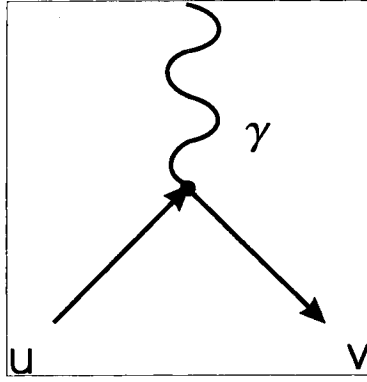
Şekil 2.8. Foton-Antiparçacık etkileşmesi

$$\bar{v}[ig_e\gamma^\mu]v = \bar{v}[ig_e\gamma^\mu] \left[\left(\frac{1+\gamma^5}{2} \right)^2 + \left(\frac{1-\gamma^5}{2} \right)^2 \right] v \quad (23a)$$

$$= \bar{v}[ig_e\gamma^\mu] \left(\frac{1+\gamma^5}{2} \right)^2 v + \bar{v}[ig_e\gamma^\mu] \left(\frac{1-\gamma^5}{2} \right)^2 v \quad (23b)$$

$$= \bar{v}_L[ig_e\gamma^\mu]v_L + \bar{v}_R[ig_e\gamma^\mu]v_R \quad (23c)$$

Elektromanyetik akımın parçacık ve antiparçacıklarla olan etkileşme terimlerinin aynı sonucu verdiği görülmektedir. Elektromanyetik akımın parçacık ve antiparçacıklarla olan etkileşme köşesi şekil 2.9'da gösterilmiştir. Etkileşme terimleri yerine yazıldığında



Şekil 2.9. Foton-(Anti)parçacık etkileşmesi

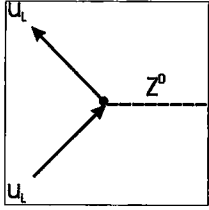
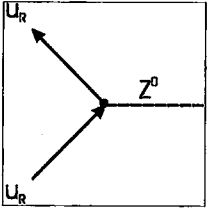
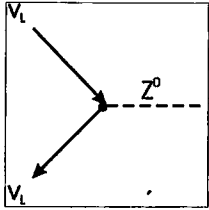
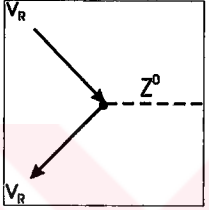
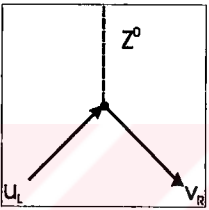
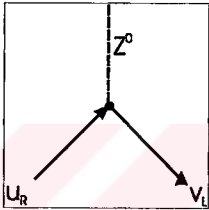
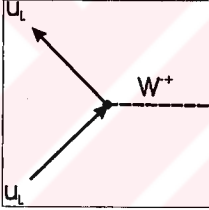
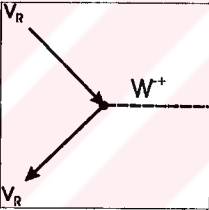
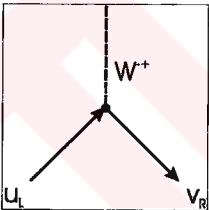
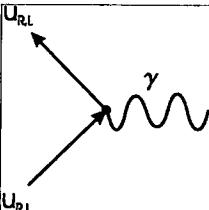
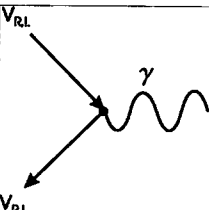
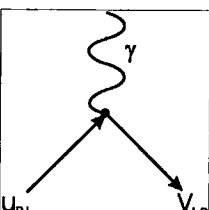
$$\bar{v}[ig_e\gamma^\mu]u = \bar{v}[ig_e\gamma^\mu] \left[\left(\frac{1+\gamma^5}{2} \right)^2 + \left(\frac{1-\gamma^5}{2} \right)^2 \right] u \quad (24a)$$

$$= \bar{v}[ig_e\gamma^\mu] \left(\frac{1+\gamma^5}{2} \right)^2 u + \bar{v}[ig_e\gamma^\mu] \left(\frac{1-\gamma^5}{2} \right)^2 u \quad (24b)$$

$$= \bar{v}_L[ig_e\gamma^\mu]u_R + \bar{v}_R[ig_e\gamma^\mu]u_L \quad (24c)$$

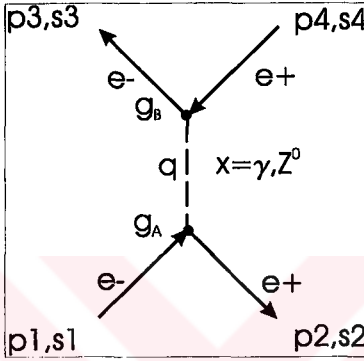
elde edilir. Bölüm içinde elde edilen tüm sonuçlar çizelge 2.2'de özetlemektedir.

Çizelge 2.2. Sağ(R) ve Sol(L) ellilik durumunda köşe faktörleri

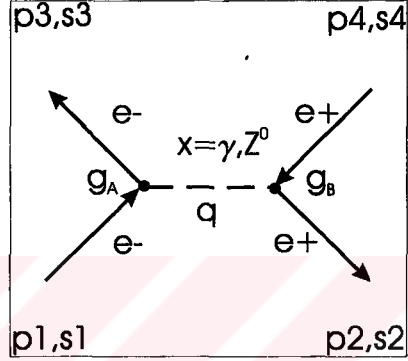
 <p>Köşe : $-\frac{ig_Z}{2}\gamma^\mu c_L$</p>	 <p>Köşe : $-\frac{ig_Z}{2}\gamma^\mu c_R$</p>	 <p>Köşe : $-\frac{ig_Z}{2}\gamma^\mu c_R$</p>
 <p>Köşe : $-\frac{ig_Z}{2}\gamma^\mu c_L$</p>	 <p>Köşe : $-\frac{ig_Z}{2}\gamma^\mu c_L$</p>	 <p>Köşe : $-\frac{ig_Z}{2}\gamma^\mu c_R$</p>
 <p>Köşe : $\frac{ig_W}{\sqrt{2}}\gamma^\mu$</p>	 <p>Köşe : $\frac{ig_W}{\sqrt{2}}\gamma^\mu$</p>	 <p>Köşe : $\frac{ig_W}{\sqrt{2}}\gamma^\mu$</p>
 <p>Köşe : $ig_e\gamma^\mu$</p>	 <p>Köşe : $ig_e\gamma^\mu$</p>	 <p>Köşe : $ig_e\gamma^\mu$</p>

3. ELEKTRON-POZİTRON SAÇILMA SÜREÇLERİ

3.1. $e^-e^+ \rightarrow e^-e^+$ Saçılması



Şekil 3.1. $e^-e^+ \rightarrow e^-e^+$ saçılması s kanal



Şekil 3.2. $e^-e^+ \rightarrow e^-e^+$ saçılması t kanal

$e^-e^+ \rightarrow e^-e^+$ sürecine ait s ve t kanal Feynman diagramları şekil 3.1 ve 3.2'de gösterilmiştir. Burada $G_{AB}(s)$ ve $G_{AB}(t)$ katsayılarındaki $A(L,R)$ ve $B(L,R)$ indisleri sırasıyla g_A ve g_B köşelerini temsil etmektedir. Fierz transformasyonunun da yardımıyla genlikler aşağıdaki şekilde hesaplanabilir.

$$M_{LL}(e_L^- e_R^+ \rightarrow e_L^- e_R^+) = \left\{ \begin{array}{l} G_{LL}(s)[\bar{u}_L(3)\gamma^\mu v_R(4)][\bar{v}_R(2)\gamma_\mu u_L(1)] \\ -G_{LL}(t)[\bar{v}_R(2)\gamma^\mu v_R(4)][\bar{u}_L(3)\gamma_\mu u_L(1)] \end{array} \right\} \quad (1a)$$

$$= (G_{LL}(s) + G_{LL}(t))[\bar{u}_L(3)\gamma^\mu v_R(4)][\bar{v}_R(2)\gamma_\mu u_L(1)] \quad (1b)$$

$$M_{RR}(e_R^- e_L^+ \rightarrow e_R^- e_L^+) = \left\{ \begin{array}{l} G_{RR}(s)[\bar{u}_R(3)\gamma^\mu v_L(4)][\bar{v}_L(2)\gamma_\mu u_R(1)] \\ -G_{RR}(t)[\bar{v}_R(2)\gamma^\mu v_R(4)][\bar{u}_R(3)\gamma_\mu u_R(1)] \end{array} \right\}$$

$$= (G_{RR}(s) + G_{RR}(t))[\bar{u}_R(3)\gamma^\mu v_L(4)][\bar{v}_L(2)\gamma_\mu u_R(1)] \quad (2)$$

$$M_{LR}^{(s)}(e_{\bar{L}}e_{\bar{R}}^{\dagger} \rightarrow e_{\bar{R}}e_{\bar{L}}^{\dagger}) = G_{LR}(s)[\bar{u}_R(3)\gamma^{\mu}v_L(4)][\bar{v}_R(2)\gamma_{\mu}u_L(1)] \quad (3a)$$

$$M_{RL}^{(s)}(e_{\bar{R}}e_{\bar{L}}^{\dagger} \rightarrow e_{\bar{L}}e_{\bar{R}}^{\dagger}) = G_{RL}(s)[\bar{u}_L(3)\gamma^{\mu}v_R(4)][\bar{v}_L(2)\gamma_{\mu}u_R(1)] \quad (3b)$$

$$M_{LR}^{(t)}(e_{\bar{L}}e_{\bar{L}}^{\dagger} \rightarrow e_{\bar{L}}e_{\bar{L}}^{\dagger}) = G_{LR}(t)[\bar{v}_L(2)\gamma^{\mu}v_L(4)][\bar{u}_L(3)\gamma^{\mu}u_L(1)] \quad (3c)$$

$$M_{RL}^{(t)}(e_{\bar{R}}e_{\bar{R}}^{\dagger} \rightarrow e_{\bar{R}}e_{\bar{R}}^{\dagger}) = G_{RL}(t)[\bar{v}_R(2)\gamma^{\mu}v_R(4)][\bar{u}_R(3)\gamma_{\mu}u_R(1)] \quad (3d)$$

$$G_{LL}(s) = \frac{g_s^2}{s} + \frac{g_Z^2 c_L^2}{4(s - M_Z^2 c^2 + i\hbar M_Z \Gamma_Z)} \quad (4a)$$

$$G_{LL}(t) = \frac{g_s^2}{t} + \frac{g_Z^2 c_L^2}{4(t - M_Z^2 c^2)} \quad (4b)$$

$$G_{RR}(s) = \frac{g_s^2}{s} + \frac{g_Z^2 c_R^2}{4(s - M_Z^2 c^2 + i\hbar M_Z \Gamma_Z)} \quad (4c)$$

$$G_{RR}(t) = \frac{g_s^2}{t} + \frac{g_Z^2 c_R^2}{4(t - M_Z^2 c^2)} \quad (4d)$$

$$G_{LR}(s) = \frac{g_s^2}{s} + \frac{g_Z^2 c_L c_R}{4(s - M_Z^2 c^2 + i\hbar M_Z \Gamma_Z)} \quad (4e)$$

$$G_{RL}(s) = \frac{g_s^2}{s} + \frac{g_Z^2 c_L c_R}{4(s - M_Z^2 c^2 + i\hbar M_Z \Gamma_Z)} \quad (4f)$$

$$= G_{LR}(s) \quad (4g)$$

$$G_{LR}(t) = \frac{g_s^2}{t} + \frac{g_Z^2 c_L c_R}{4(t - M_Z^2 c^2)} \quad (4h)$$

$$G_{RL}(t) = \frac{g_s^2}{t} + \frac{g_Z^2 c_R c_L}{4(t - M_Z^2 c^2)} \quad (4i)$$

$$= G_{LR}(t) \quad (4j)$$

Yukarıdaki denklemlerde s,t ve u değişkenleri Mandelstam değişkenleri olup yapılacak tüm hesaplarda sıklıkla kullanılacaktır. Genliklerin kareleri aşağıdaki şekilde hesaplanır.

$$|M_{LL}|^2 = |G_{LL}(s) + G_{LL}(t)|^2 \left\{ \begin{array}{l} Tr \left\{ \gamma^{\mu} \left(\frac{1-\gamma^5}{2} \right) \not{p}_4 \gamma^{\nu} \left(\frac{1-\gamma^5}{2} \right) \not{p}_3 \right\} \times \\ Tr \left\{ \gamma_{\mu} \left(\frac{1-\gamma^5}{2} \right) \not{p}_1 \gamma_{\nu} \left(\frac{1-\gamma^5}{2} \right) \not{p}_2 \right\} \end{array} \right\} \quad (5a)$$

$$= 16|G_{LL}(s) + G_{LL}(t)|^2 (p_1 \cdot p_4)(p_2 \cdot p_3) \quad (5b)$$

$$= 4u^2 |G_{LL}(s) + G_{LL}(t)|^2 \quad (5c)$$

$$|M_{RR}|^2 = |G_{RR}(s) + G_{RR}(t)|^2 \left\{ \begin{array}{l} \text{Tr} \left\{ \gamma^\mu \left(\frac{1+\gamma^5}{2} \right) \not{p}_4 \gamma^\nu \left(\frac{1+\gamma^5}{2} \right) \not{p}_3 \right\} \times \\ \text{Tr} \left\{ \gamma_\mu \left(\frac{1+\gamma^5}{2} \right) \not{p}_1 \gamma_\nu \left(\frac{1+\gamma^5}{2} \right) \not{p}_2 \right\} \end{array} \right\} \quad (6a)$$

$$= 16 |G_{RR}(s) + G_{RR}(t)|^2 (p_1 \cdot p_4)(p_2 \cdot p_3) \quad (6b)$$

$$= 4u^2 |G_{RR}(s) + G_{RR}(t)|^2 \quad (6c)$$

$$|M_{LR}^{(s)}|^2 = |G_{LR}(s)|^2 \left\{ \begin{array}{l} \text{Tr} \left\{ \gamma^\mu \left(\frac{1+\gamma^5}{2} \right) \not{p}_4 \gamma^\nu \left(\frac{1+\gamma^5}{2} \right) \not{p}_3 \right\} \times \\ \text{Tr} \left\{ \gamma_\mu \left(\frac{1-\gamma^5}{2} \right) \not{p}_1 \gamma_\nu \left(\frac{1-\gamma^5}{2} \right) \not{p}_2 \right\} \end{array} \right\} \quad (7a)$$

$$= 16 |G_{LR}(s)|^2 (p_1 \cdot p_3)(p_2 \cdot p_4) \quad (7b)$$

$$= 4t^2 |G_{LR}(s)|^2 \quad (7c)$$

$$|M_{RL}^{(s)}|^2 = |G_{RL}(s)|^2 \left\{ \begin{array}{l} \text{Tr} \left\{ \gamma^\mu \left(\frac{1-\gamma^5}{2} \right) \not{p}_4 \gamma^\nu \left(\frac{1-\gamma^5}{2} \right) \not{p}_3 \right\} \times \\ \text{Tr} \left\{ \gamma_\mu \left(\frac{1+\gamma^5}{2} \right) \not{p}_1 \gamma_\nu \left(\frac{1+\gamma^5}{2} \right) \not{p}_2 \right\} \end{array} \right\} \quad (8a)$$

$$= 16 |G_{RL}(s)|^2 (p_1 \cdot p_3)(p_2 \cdot p_4) \quad (8b)$$

$$= 4t^2 |G_{RL}(s)|^2 \quad (8c)$$

$$|M_{LR}^{(t)}|^2 = |G_{LR}(t)|^2 \left\{ \begin{array}{l} \text{Tr} \left\{ \gamma^\mu \left(\frac{1+\gamma^5}{2} \right) \not{p}_4 \gamma^\nu \left(\frac{1+\gamma^5}{2} \right) \not{p}_2 \right\} \times \\ \text{Tr} \left\{ \gamma_\mu \left(\frac{1-\gamma^5}{2} \right) \not{p}_1 \gamma_\nu \left(\frac{1-\gamma^5}{2} \right) \not{p}_3 \right\} \end{array} \right\} \quad (9a)$$

$$= 16 |G_{LR}(t)|^2 (p_1 \cdot p_2)(p_3 \cdot p_4) \quad (9b)$$

$$= 4s^2 |G_{LR}(t)|^2 \quad (9c)$$

$$|M_{RL}^{(t)}|^2 = |G_{RL}(t)|^2 \left\{ \begin{array}{l} \text{Tr} \left\{ \gamma^\mu \left(\frac{1-\gamma^5}{2} \right) \not{p}_4 \gamma^\nu \left(\frac{1-\gamma^5}{2} \right) \not{p}_2 \right\} \times \\ \text{Tr} \left\{ \gamma_\mu \left(\frac{1+\gamma^5}{2} \right) \not{p}_1 \gamma_\nu \left(\frac{1+\gamma^5}{2} \right) \not{p}_3 \right\} \end{array} \right\} \quad (10a)$$

$$= 16 |G_{RL}(t)|^2 (p_1 \cdot p_2)(p_3 \cdot p_4) \quad (10b)$$

$$= 4s^2 |G_{RL}(t)|^2 \quad (10c)$$

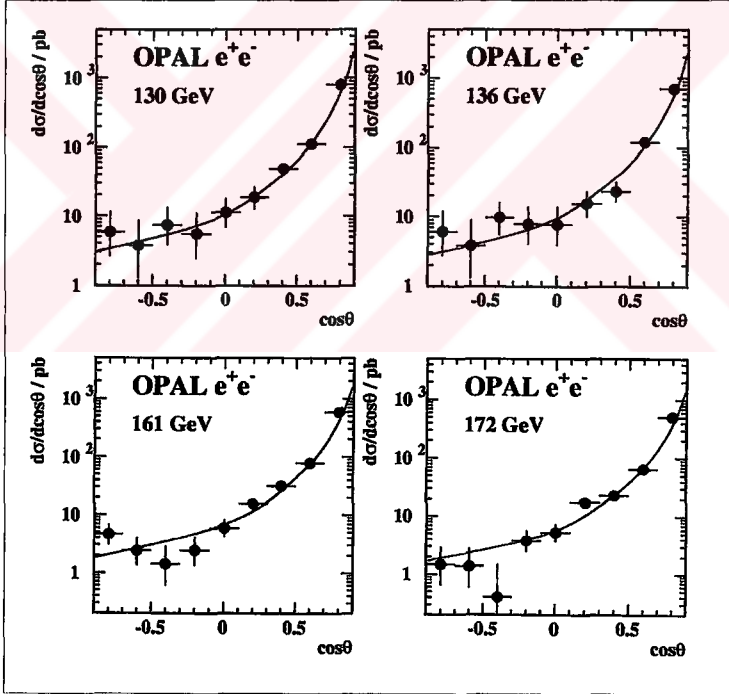
Diferansiyel tesir kesitleri aşağıdaki şekilde bulunur.

$$\frac{d\sigma_L(e^-e^+ \rightarrow e^-e^+)}{dt} = \frac{(\hbar c)^2}{8\pi s^2 c^2} \{u^2|G_{LL}(s) + G_{LL}(t)|^2 + s^2|G_{LR}(t)|^2 + t^2|G_{LR}(s)|^2\} \quad (11a)$$

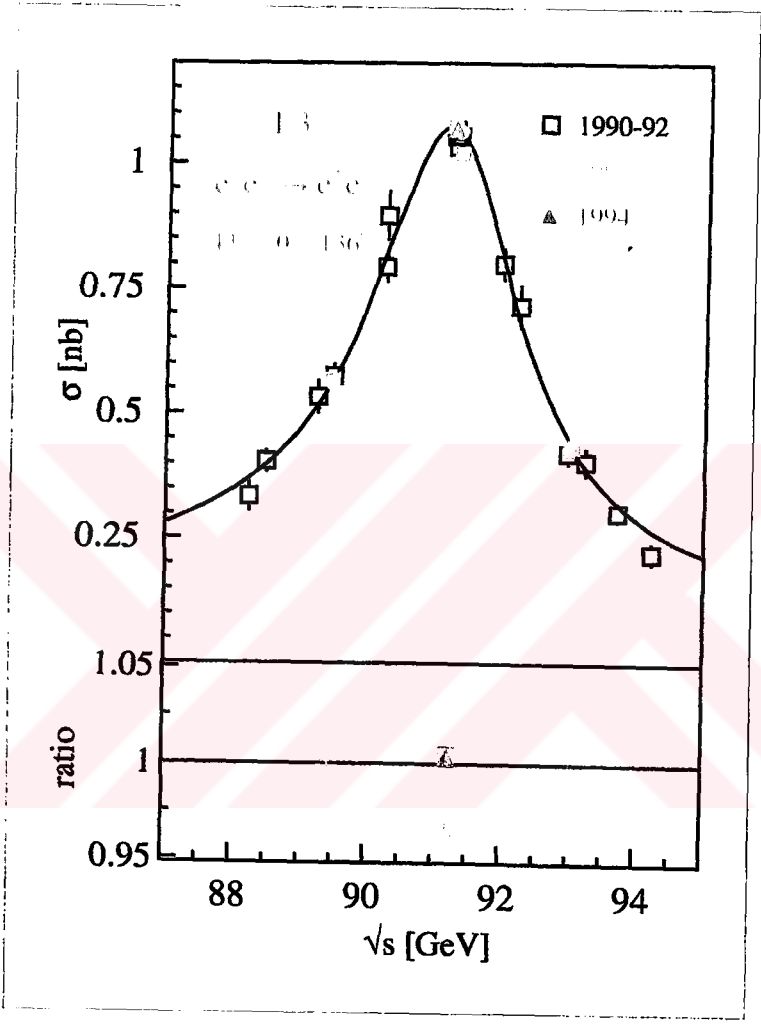
$$\frac{d\sigma_R(e^-e^+ \rightarrow e^-e^+)}{dt} = \frac{(\hbar c)^2}{8\pi s^2 c^2} \{u^2|G_{RR}(s) + G_{RR}(t)|^2 + s^2|G_{RL}(t)|^2 + t^2|G_{RL}(s)|^2\} \quad (11b)$$

$$\frac{d\sigma_T(e^-e^+ \rightarrow e^-e^+)}{dt} = \frac{d\sigma_L + d\sigma_R}{2dt} \quad (11c)$$

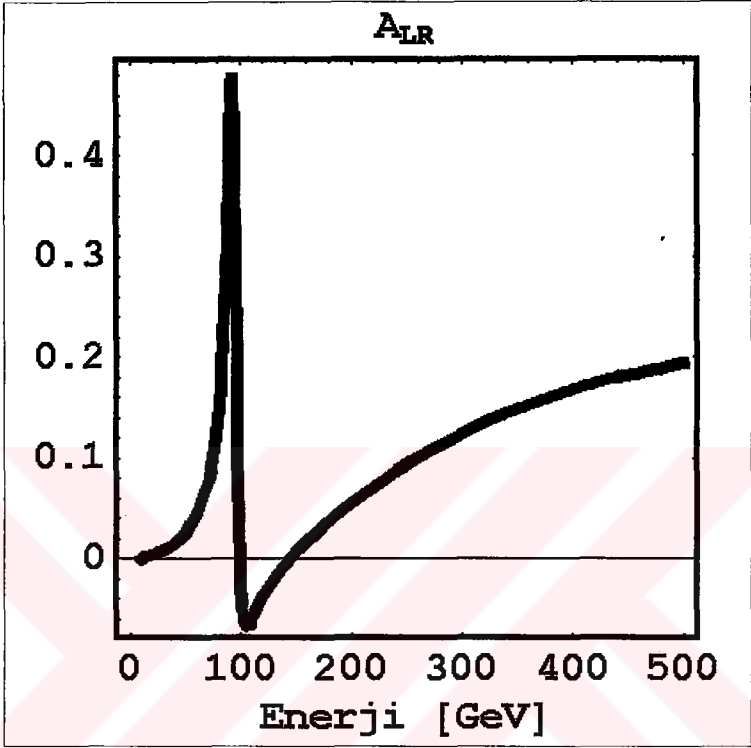
Toplam tesir kesiti ve diferansiyel tesir kesitlerine ait deneysel ve teorik grafikler şekil 3.3 ve 3.4'te gösterilmiştir.



Şekil 3.3. $e^-e^+ \rightarrow e^-e^+$ saçılması diferansiyel tesir kesiti

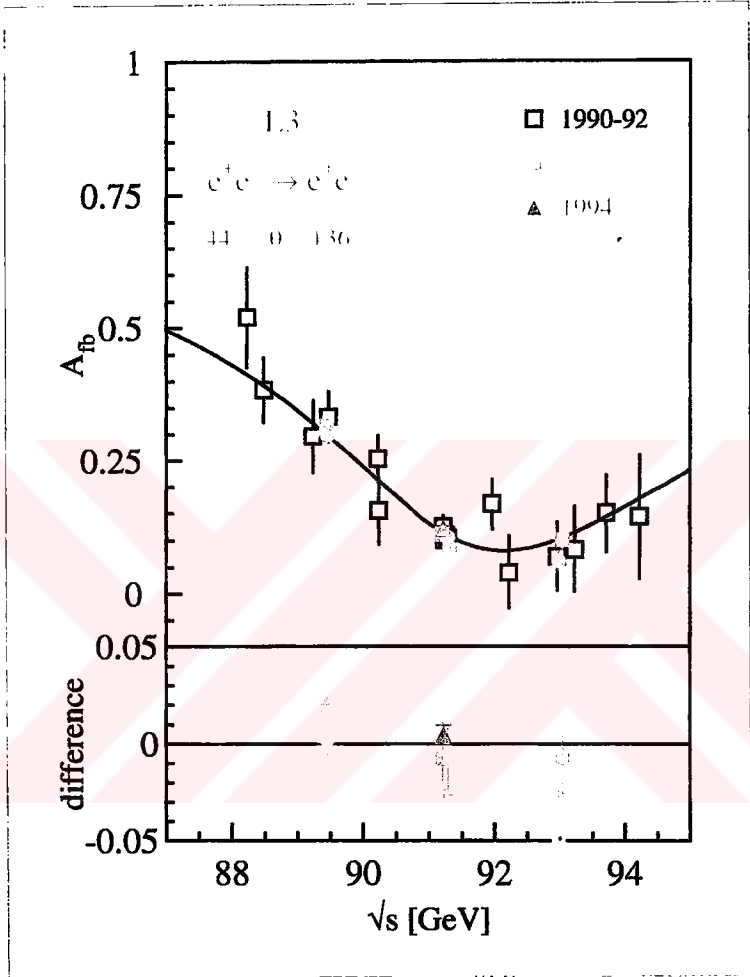


Şekil 3.4. $e^-e^+ \rightarrow e^-e^+$ saçılması toplam tesir kesiti

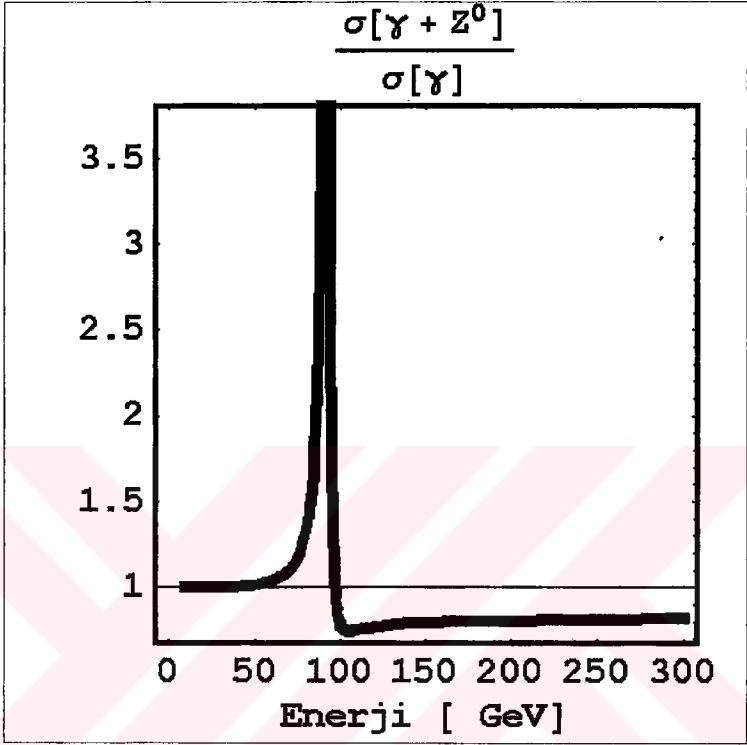


Şekil 3.5. $e^-e^+ \rightarrow e^-e^+$ saçılması A_{LR} asimetrisi

Asimetrilere ait teorik ve deneysel grafikler şekil 3.5 ve 3.6'da gösterilmiştir.



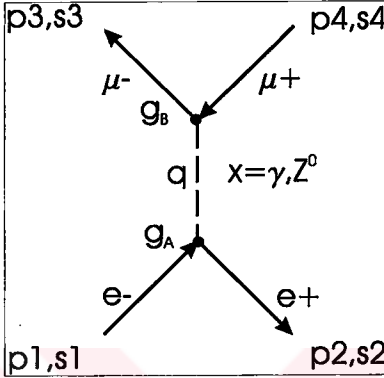
Şekil 3.6. $e^-e^+ \rightarrow e^-e^+$ saçılması A_{FB} asimetrisi



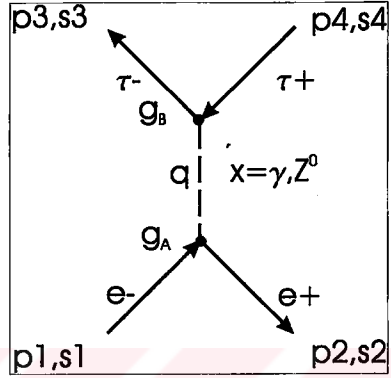
Şekil 3.7. $e^-e^+ \rightarrow e^-e^+$ saçılması $\sigma(\gamma + Z^0)/\sigma(\gamma)$ oranı

Etkileşmenin toplam tesir kesitinin elektromanyetik etkileşmeye oranı şekil 3.7'de gösterilmiştir.

3.2. $e^-e^+ \rightarrow \mu^-(\tau^-)\mu^+(\tau^+)$ Saçılması



Şekil 3.8. $e^-e^+ \rightarrow \mu^-\mu^+$ saçılması s kanal



Şekil 3.9. $e^-e^+ \rightarrow \tau^-\tau^+$ saçılması s kanal

$e^-e^+ \rightarrow \mu^-(\tau^-)\mu^+(\tau^+)$ etkileşmesine ait s kanal Feynman diagramları şekil 3.8 ve 3.9'da gösterilmiştir. Leptonların kütesiz kabul edildiği yaklaşımda $e^-e^+ \rightarrow \mu^-\mu^+$ ve $e^-e^+ \rightarrow \tau^-\tau^+$ saçılmalarının hesapları ve sonuçları aynıdır. Bu nedenle her iki etkileşme beraber incelenebilir. Burada hesap yalnızca $\mu^-\mu^+$ son durumu için yapılacaktır.

$$M_{LL}(e_L^-e_R^+ \rightarrow \mu_L^-\mu_R^+) = G_{LL}(s)[\bar{u}_L(3)\gamma^\mu v_R(4)][\bar{v}_R(2)\gamma_\mu u_L(1)] \quad (1a)$$

$$M_{RR}(e_R^-e_L^+ \rightarrow \mu_R^-\mu_L^+) = G_{RR}(s)[\bar{u}_R(3)\gamma^\mu v_L(4)][\bar{v}_L(2)\gamma_\mu u_R(1)] \quad (1b)$$

$$M_{LR}(e_L^-e_R^+ \rightarrow \mu_R^-\mu_L^+) = G_{LR}(s)[\bar{u}_R(3)\gamma^\mu v_L(4)][\bar{v}_R(2)\gamma_\mu u_L(1)] \quad (1c)$$

$$M_{RL}(e_R^-e_L^+ \rightarrow \mu_L^-\mu_R^+) = G_{RL}(s)[\bar{u}_L(3)\gamma^\mu v_R(4)][\bar{v}_L(2)\gamma_\mu u_R(1)] \quad (1d)$$

Burada

$$G_{LL}(s) = \frac{g_s^2}{s} + \frac{g_Z^2 c_L^2}{4(s - M_Z^2 c^2 + i\hbar M_Z \Gamma_Z)} \quad (2a)$$

$$G_{RR}(s) = \frac{g_s^2}{s} + \frac{g_Z^2 c_R^2}{4(s - M_Z^2 c^2 + i\hbar M_Z \Gamma_Z)} \quad (2b)$$

$$G_{LR}(s) = \frac{g_s^2}{s} + \frac{g_Z^2 c_L c_R}{4(s - M_Z^2 c^2 + i\hbar M_Z \Gamma_Z)} \quad (2c)$$

$$G_{RL}(s) = G_{LR}(s) \quad (2d)$$

Genliklerin kareleri

$$|M_{LL}|^2 = |G_{LL}(s)|^2 \left\{ \begin{array}{l} \text{Tr} \left\{ \gamma^\mu \left(\frac{1-\gamma^5}{2} \right) \not{p}_4 \gamma^\nu \left(\frac{1-\gamma^5}{2} \right) \not{p}_3 \right\} \times \\ \text{Tr} \left\{ \gamma_\mu \left(\frac{1-\gamma^5}{2} \right) \not{p}_1 \gamma_\nu \left(\frac{1-\gamma^5}{2} \right) \not{p}_2 \right\} \end{array} \right\} \quad (3a)$$

$$= 16|G_{LL}(s)|^2 (p_1 \cdot p_4)(p_2 \cdot p_3) \quad (3b)$$

$$= 4u^2 |G_{LL}(s)|^2 \quad (3c)$$

$$|M_{RR}|^2 = |G_{RR}(s)|^2 \left\{ \begin{array}{l} \text{Tr} \left\{ \gamma^\mu \left(\frac{1+\gamma^5}{2} \right) \not{p}_4 \gamma^\nu \left(\frac{1+\gamma^5}{2} \right) \not{p}_3 \right\} \times \\ \text{Tr} \left\{ \gamma_\mu \left(\frac{1+\gamma^5}{2} \right) \not{p}_1 \gamma_\nu \left(\frac{1+\gamma^5}{2} \right) \not{p}_2 \right\} \end{array} \right\} \quad (4a)$$

$$= 16|G_{RR}(s)|^2 (p_1 \cdot p_4)(p_2 \cdot p_3) \quad (4b)$$

$$= 4u^2 |G_{RR}(s)|^2 \quad (4c)$$

$$|M_{LR}|^2 = |G_{LR}(s)|^2 \left\{ \begin{array}{l} \text{Tr} \left\{ \gamma^\mu \left(\frac{1+\gamma^5}{2} \right) \not{p}_4 \gamma^\nu \left(\frac{1+\gamma^5}{2} \right) \not{p}_3 \right\} \times \\ \text{Tr} \left\{ \gamma_\mu \left(\frac{1-\gamma^5}{2} \right) \not{p}_1 \gamma_\nu \left(\frac{1-\gamma^5}{2} \right) \not{p}_2 \right\} \end{array} \right\} \quad (5a)$$

$$= 16|G_{LR}(s)|^2 (p_1 \cdot p_3)(p_2 \cdot p_4) \quad (5b)$$

$$= 4t^2 |G_{LR}(s)|^2 \quad (5c)$$

$$|M_{RL}|^2 = |G_{RL}(s)|^2 \left\{ \begin{array}{l} \text{Tr} \left\{ \gamma^\mu \left(\frac{1-\gamma^5}{2} \right) \not{p}_4 \gamma^\nu \left(\frac{1-\gamma^5}{2} \right) \not{p}_3 \right\} \times \\ \text{Tr} \left\{ \gamma_\mu \left(\frac{1+\gamma^5}{2} \right) \not{p}_1 \gamma_\nu \left(\frac{1+\gamma^5}{2} \right) \not{p}_2 \right\} \end{array} \right\} \quad (6a)$$

$$= 16|G_{RL}(s)|^2 (p_1 \cdot p_3)(p_2 \cdot p_4) \quad (6b)$$

$$= 4t^2 |G_{RL}(s)|^2 \quad (6c)$$

Diferansiyel tesir kesitleri aşağıdaki gibi bulunur.

$$\frac{d\sigma_L(e_L^-e^+ \rightarrow \mu^- \mu^+)}{dt} = \frac{(\hbar c)^2}{8\pi s^2 c^2} \{u^2 |G_{LL}(s)|^2 + t^2 |G_{LR}(s)|^2\} \quad (7a)$$

$$\frac{d\sigma_R(e_R^-e^+ \rightarrow \mu^- \mu^+)}{dt} = \frac{(\hbar c)^2}{8\pi s^2 c^2} \{u^2 |G_{RR}(s)|^2 + t^2 |G_{RL}(s)|^2\} \quad (7b)$$

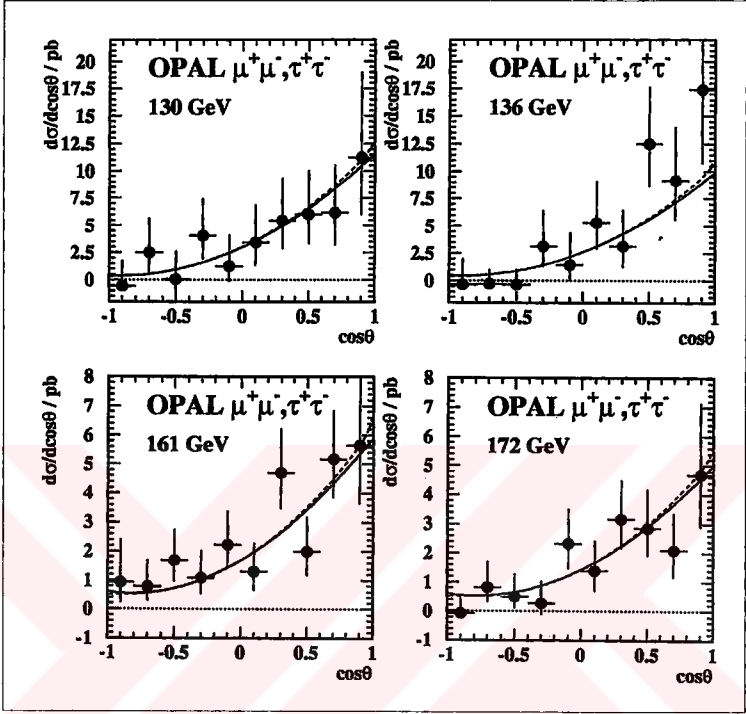
$$\frac{d\sigma_T(e^-e^+ \rightarrow \mu^- \mu^+)}{dt} = \frac{(\hbar c)^2}{16\pi s^2 c^2} \{u^2 (|G_{LL}(s)|^2 + |G_{RR}(s)|^2) + 2t^2 |G_{LR}(s)|^2\} \quad (7c)$$

Toplam tesir kesiti ve asimetriler aşağıdaki gibi bulunur.

$$\sigma_T = \frac{(\hbar c)^2 s}{48\pi c^2} \{|G_{LL}(s)|^2 + |G_{RR}(s)|^2 + 2|G_{LR}(s)|^2\} \quad (8b)$$

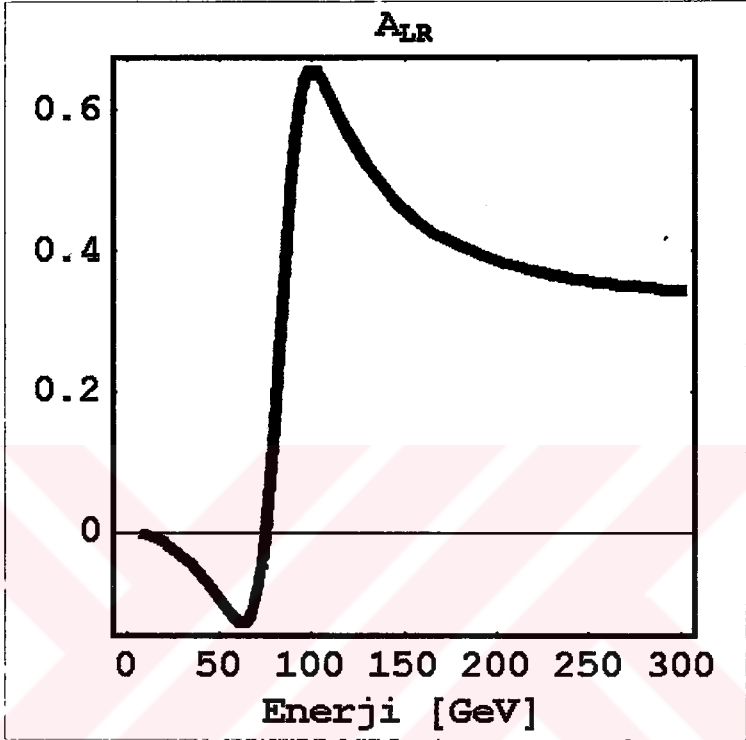
$$A_{LR} = \frac{|G_{LL}(s)|^2 - |G_{RR}(s)|^2}{|G_{LL}(s)|^2 + |G_{RR}(s)|^2 + 2|G_{LR}(s)|^2} \quad (8b)$$

$$A_{FB} = \frac{3(|G_{LL}(s)|^2 + |G_{RR}(s)|^2)}{4(|G_{LL}(s)|^2 + |G_{RR}(s)|^2 + 2|G_{LR}(s)|^2)} \quad (8c)$$



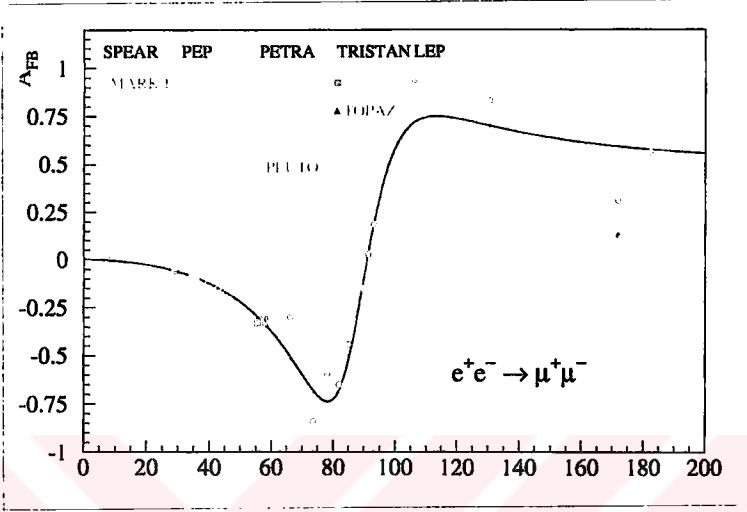
Şekil 3.10. $e^-e^+ \rightarrow \mu^-\mu^+, \tau^+\tau^-$ saçılması diferansiyel tesir kesiti

Toplam tesir kesiti ve diferansiyel tesir kesitlerine ait teorik ve deneysel grafikler şekil 3.10 ve 3.11'de gösterilmiştir.

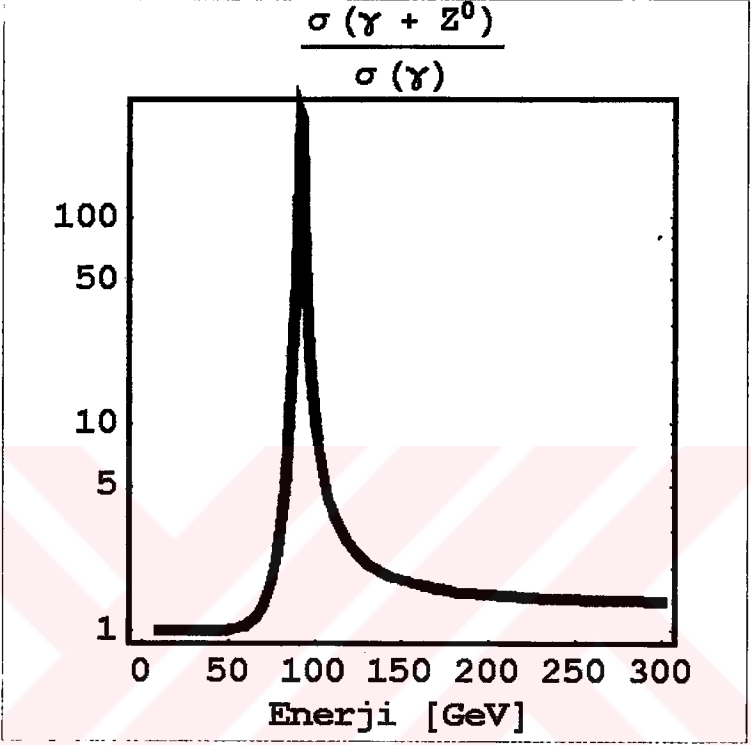


Şekil 3.12. $e^-e^+ \rightarrow \mu^-\mu^+$ saçılması A_{LR} asimetrisi

Asimetrilere ait teorik ve deneysel grafikler şekil 3.12 ve 3.13'te gösterilmiştir.



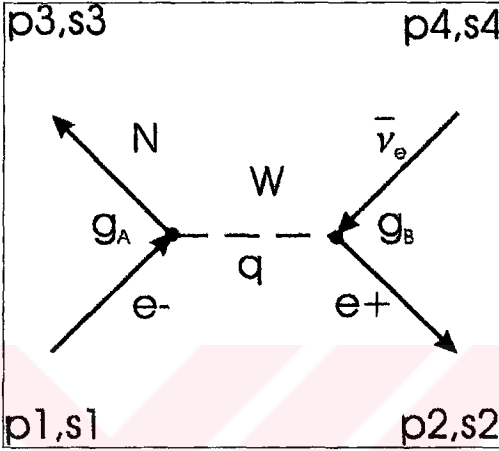
Şekil 3.13. $e^-e^+ \rightarrow \mu^-\mu^+$ saçılması A_{FB} asimetrisi



Şekil 3.14. $e^-e^+ \rightarrow \mu^-\mu^+$ seçilmesi $\sigma(\gamma + Z^0)/\sigma(\gamma)$ oranı

Etkileşmenin toplam tesir kesitinin elektromanyetik etkileşmeye oranı şekil 3.14'te gösterilmiştir.

3.3. $e^-e^+ \rightarrow N\bar{\nu}_e$ Saçılması



Şekil 3.15. $e^-e^+ \rightarrow N\bar{\nu}_e$ saçılması t kanal

$e^-e^+ \rightarrow N\bar{\nu}_e$ saçılmasına ait t kanal Feynman diagramı şekil 3.15'te gösterilmiştir. Aşağıdaki denklemler N ve $\bar{\nu}_e$ 'nin Dirac nötrinosu olduğu varsayılarak yazılmıştır. Dirac tipi nötrinolarda, $\nu_e \neq \bar{\nu}_e$ ve $N \neq \bar{N}$ dir. Sürece ait genlik ifadesi aşağıda çıkarılmıştır.

$$M_{LL}(e^-_R e^+_R \rightarrow N_L \bar{\nu}_R) = G_{LL}(t)[\bar{\nu}_R(2)\gamma^\mu \nu_R(4)][\bar{\psi}_L(3)\gamma_\mu \psi_L(1)] \quad (1)$$

Denklem 2'deki V_{Ne} , quark sektöründe olduğu gibi lepton sektöründeki jenerasyon karışım matris elemanıdır.

$$G_{LL}(t) = \frac{g_W^2 V_{Ne}}{2(t - M_W^2/c^2)} \quad (2)$$

Genliğin karesi

$$|M_{LL}|^2 = |G_{LL}(t)|^2 \left\{ \begin{array}{l} Tr \left\{ \gamma^\mu \left(\frac{1-\gamma^5}{2} \right) \not{p}_4 \gamma^\nu \left(\frac{1-\gamma^5}{2} \right) \not{p}_2 \right\} \times \\ Tr \left\{ \gamma_\mu \left(\frac{1-\gamma^5}{2} \right) \not{p}_1 \gamma_\nu \left(\frac{1-\gamma^5}{2} \right) (\not{p}_3 + m_N) \right\} \end{array} \right\} \quad (3a)$$

$$= 16 |G_{LL}(t)|^2 (p_1 \cdot p_4) (p_2 \cdot p_3) \quad (3b)$$

$$= 4u(u - m_N^2 c^2) |G_{LL}(t)|^2 \quad (3c)$$

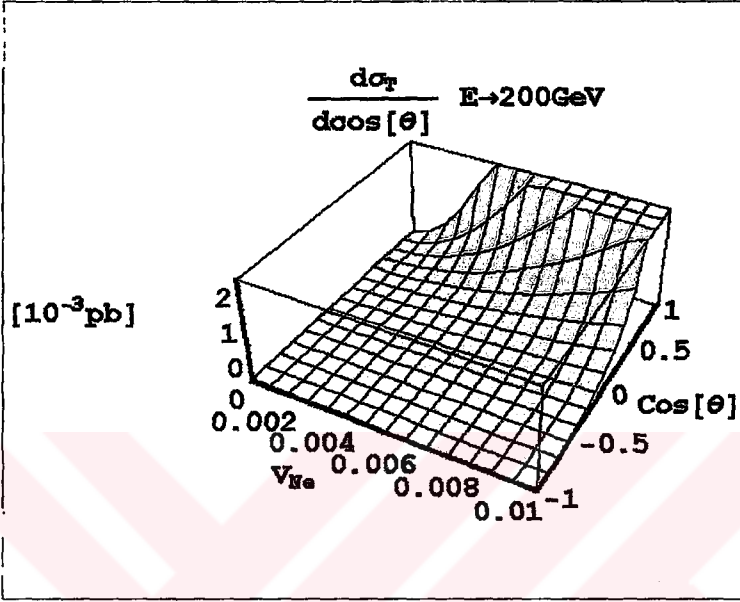
Diferansiyel tesir kesitleri aşağıdaki gibi bulunur.

$$\frac{d\sigma_L(e^-_L e^+ \rightarrow N \bar{\nu}_e)}{dt} = \frac{(\hbar c)^2}{8\pi s^2 c^2} u(u - m_N^2 c^2) |G_{LL}(t)|^2 \quad (4a)$$

$$\frac{d\sigma_T(e^- e^+ \rightarrow N \bar{\nu}_e)}{dt} = \frac{(\hbar c)^2}{16\pi s^2 c^2} u(u - m_N^2 c^2) |G_{LL}(t)|^2 \quad (4b)$$

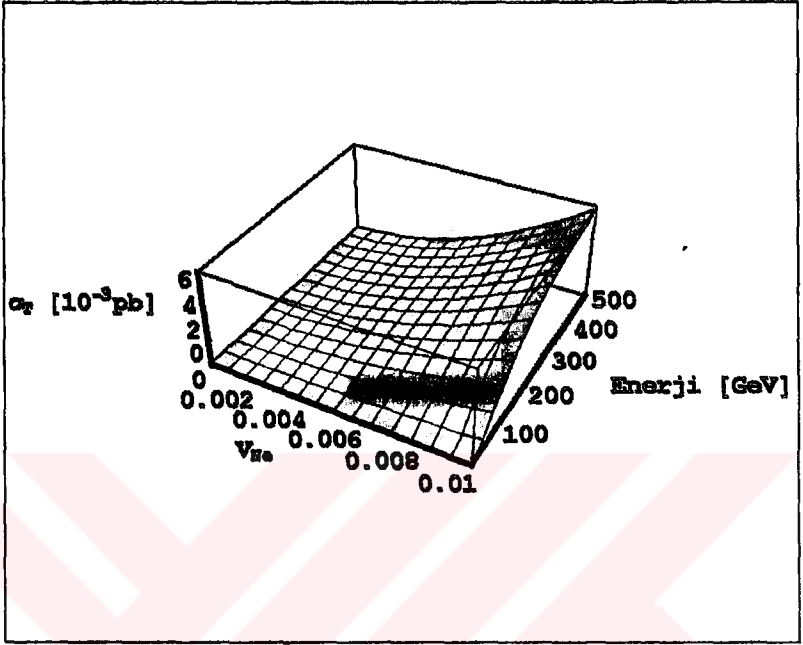
Etkileşmeye sadece sol elli nötrinolar (ya da sağ elli antinötrinolar) girdiğinden A_{LR} asimetrisi aşağıdaki şekilde hesaplanabilir.

$$A_{LR} = 1 \quad (5a)$$

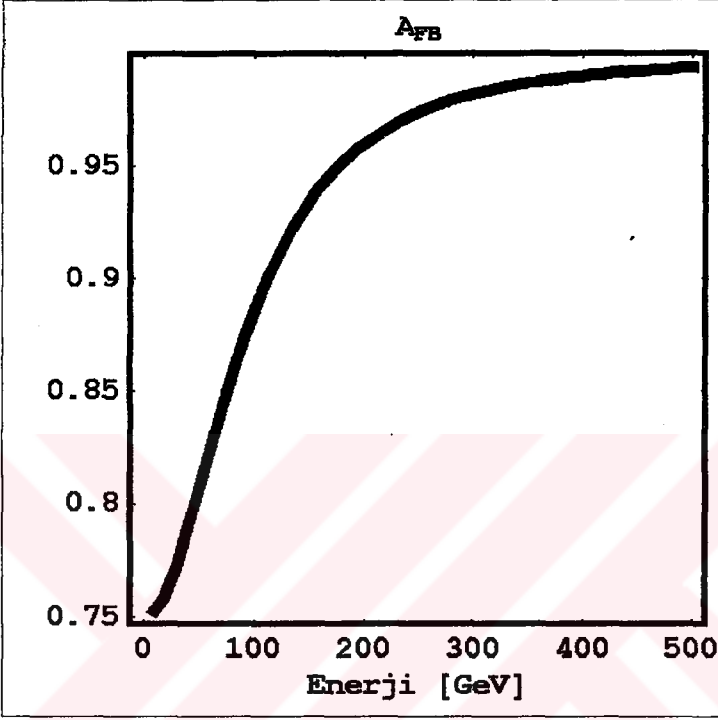


Şekil 3.16. $e^-e^+ \rightarrow N\nu_e$ saçılması diferansiyel tesir kesiti

Toplam tesir kesiti ve diferansiyel tesir kesitine ait teorik grafikler şekil 3.16 ve 3.17'de gösterilmiştir.



Şekil 3.17. $e^-e^+ \rightarrow N\bar{N}$ saçılması toplam tesir kesiti



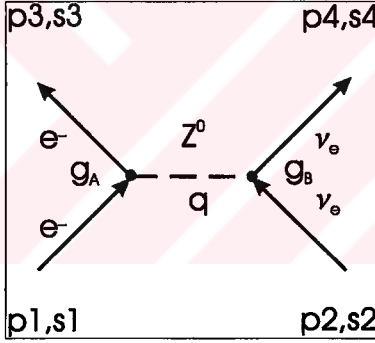
Şekil 3.18. $e^-e^+ \rightarrow N\nu_e$ saçılması A_{FB} asimetrisi

Asimetriye ait teorik grafik ise şekil 3.18'de gösterilmiştir.

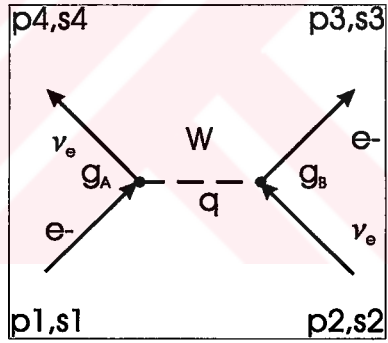
4. ELEKTRON-NÖTRİNO SAÇILMA SÜREÇLERİ

Elektron-nötrino saçılma tesir kesitleri, aşırı derecede küçük ve doğal olarak da ölçümü zordur. Buna rağmen yapılan büyük deneysel çabalar sayesinde Standart Modelin $SU(2)_L \times U(1)_Y$ yapısının teyidinde ve nötrinoların bilinmeyen yapısını ortaya çıkarmada kritik rol oynarlar. Meseia CERN 'de $\bar{\nu}_\mu e \rightarrow \bar{\nu}_\mu e$ saçılmasının ilk gözlemleri zayıf nötral akımın varlığını doğrulamıştır. Ardından $\nu_\mu e$ ve $\bar{\nu}_\mu e$ saçılmalarının ileri istatistiksel çalışmaları elektrozayıf karışım açısını ($\sin^2\theta_W$) temiz bir şekilde (tamamen leptonik) belirlemeye olanak tanır. Super K Grubunun düşük enerjili $\nu e \rightarrow \nu e$ solar nötrino saçılma çalışmaları, nötrino karışımı ve osilasyonlarının doğasını $\nu_e e$ ve $\nu_l e (l = \mu, \tau)$ saçılma tesir kesitleri arasındaki SM farkları yoluyla ortaya çıkarmaya imkan tanır.

4.1. $e^- \nu_e \rightarrow e^- \nu_e$ Saçılması



Şekil 4.1. $e^- \nu_e \rightarrow e^- \nu_e$ saçılması t kanal



Şekil 4.2 $e^- \nu_e \rightarrow e^- \nu_e$ saçılması u kanal

$e^- \nu_e \rightarrow e^- \nu_e$ sürecine ait t ve u kanal Feynman diagramları şekil 4.1 ve 4.2'de gösterilmiştir. Genlik hesabı yapılırken denklem 1a'dan denklem 1b'ye Fierz transformasyonu yardımıyla geçilmiştir.

$$M_{LL}(e_{\bar{L}VL} \rightarrow e_{\bar{L}VL}) = \left\{ \begin{array}{l} G_{LL}(t)[\bar{u}_L(4)\gamma^\mu u_L(2)][\bar{u}_L(3)\gamma_\mu u_L(1)] \\ + G_{LL}(u)[\bar{u}_L(4)\gamma^\mu u_L(1)][\bar{u}_L(3)\gamma_\mu u_L(2)] \end{array} \right\} \quad (1a)$$

$$= (G_{LL}(t) - G_{LL}(u))[\bar{u}_L(4)\gamma^\mu u_L(2)][\bar{u}_L(3)\gamma_\mu u_L(1)] \quad (1b)$$

$$M_{RL}(e_{\bar{R}VL} \rightarrow e_{\bar{R}VL}) = G_{RL}(t)[\bar{u}_L(4)\gamma^\mu u_L(2)][\bar{u}_R(3)\gamma_\mu u_R(1)] \quad (1c)$$

Burada

$$G_{LL}(t) = \frac{g_Z^2 c_f^2}{4(t - M_Z^2 c^2)} \quad (2a)$$

$$G_{LL}(u) = \frac{g_W^2}{2(u - M_W^2 c^2)} \quad (2b)$$

$$G_{RL}(t) = \frac{g_Z^2 c_R^2}{4(t - M_Z^2 c^2)} \quad (2c)$$

Genliklerin kareleri

$$|M_{LL}|^2 = |G_{LL}(t) - G_{LL}(u)|^2 \left\{ \begin{array}{l} Tr \left\{ \gamma^\mu \left(\frac{1 - \gamma^5}{2} \right) \not{p}_2 \gamma^\nu \left(\frac{1 - \gamma^5}{2} \right) \not{p}_4 \right\} \times \\ Tr \left\{ \gamma_\mu \left(\frac{1 - \gamma^5}{2} \right) \not{p}_1 \gamma_\nu \left(\frac{1 - \gamma^5}{2} \right) \not{p}_3 \right\} \end{array} \right\} \quad (3a)$$

$$= 16 |G_{LL}(t) - G_{LL}(u)|^2 (p_1 \cdot p_2)(p_3 \cdot p_4) \quad (3b)$$

$$= 4s^2 |G_{LL}(t) - G_{LL}(u)|^2 \quad (3c)$$

$$|M_{RL}|^2 = |G_{RL}(t)|^2 \left\{ \begin{array}{l} Tr \left\{ \gamma^\mu \left(\frac{1 - \gamma^5}{2} \right) \not{p}_2 \gamma^\nu \left(\frac{1 - \gamma^5}{2} \right) \not{p}_4 \right\} \times \\ Tr \left\{ \gamma_\mu \left(\frac{1 + \gamma^5}{2} \right) \not{p}_1 \gamma_\nu \left(\frac{1 + \gamma^5}{2} \right) \not{p}_3 \right\} \end{array} \right\} \quad (4a)$$

$$= 16 |G_{RL}(t)|^2 (p_1 \cdot p_4)(p_2 \cdot p_3) \quad (4b)$$

$$= 4u^2 |G_{RL}(t)|^2 \quad (4c)$$

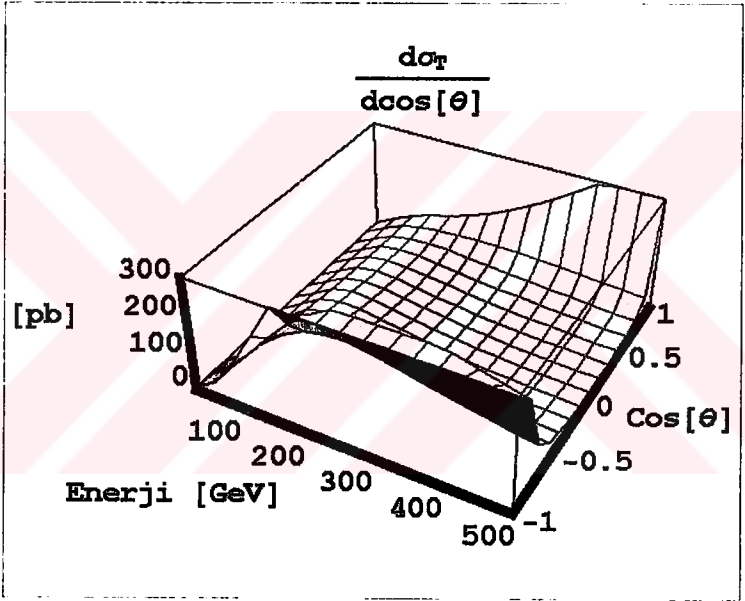
Diferansiyel tesir kesitleri aşağıdaki gibi bulunur.

$$\frac{d\sigma_L(e^-_L\nu \rightarrow e^- \nu)}{dt} = \frac{(\hbar c)^2}{4\pi s^2 c^2} s^2 |G_{LL}(t) - G_{LL}(u)|^2 \quad (5a)$$

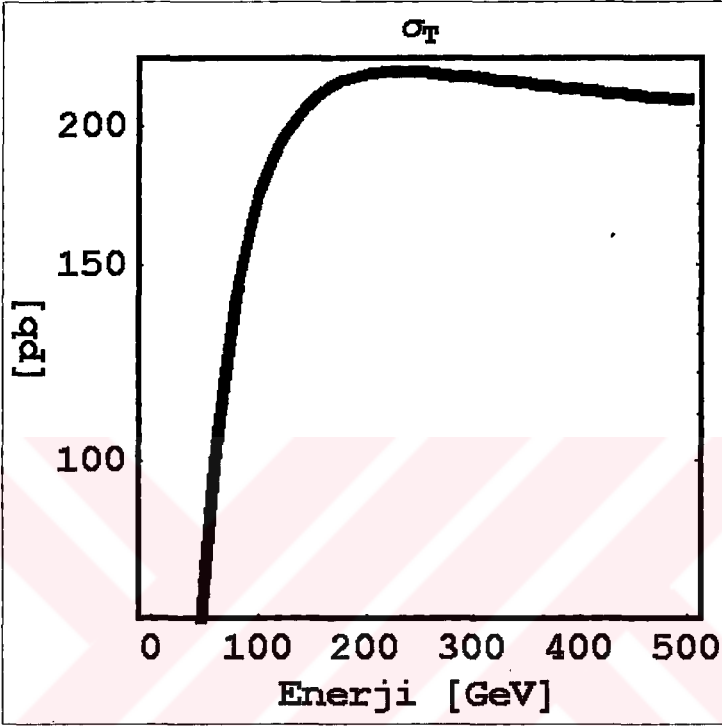
$$\frac{d\sigma_R(e^-_R\nu \rightarrow e^- \nu)}{dt} = \frac{(\hbar c)^2}{4\pi s^2 c^2} u^2 |G_{RL}(t)|^2 \quad (5b)$$

$$\frac{d\sigma_T(e^- \nu \rightarrow e^- \nu)}{dt} = \frac{(\hbar c)^2}{8\pi s^2 c^2} \{s^2 |G_{LL}(t) - G_{LL}(u)|^2 + u^2 |G_{RL}(t)|^2\} \quad (5c)$$

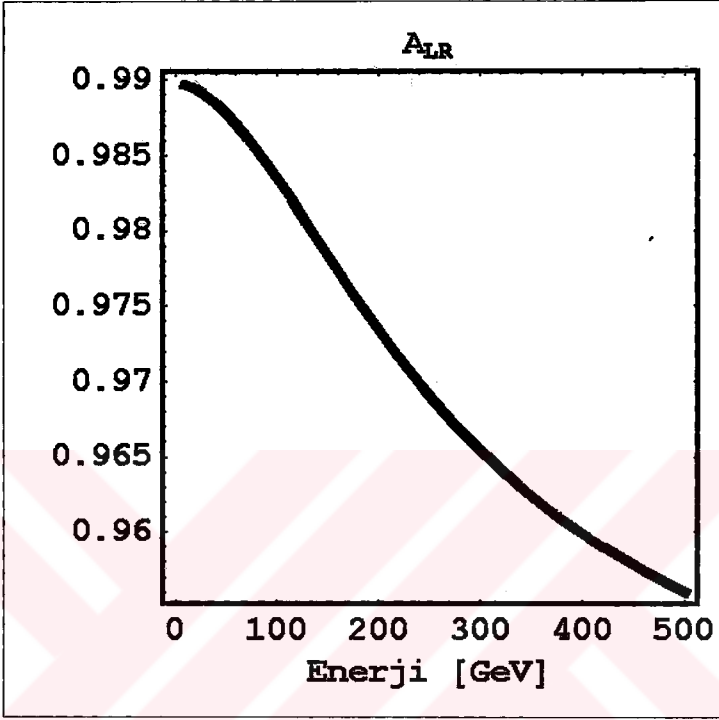
Toplam tesir kesiti ve diferansiyel tesir kesitine ait teorik grafikler şekil 4.3 ve 4.4'te gösterilmiştir.



Şekil 4.3. $e^- \nu_e \rightarrow e^- \nu_e$ saçılması diferansiyel tesir kesiti



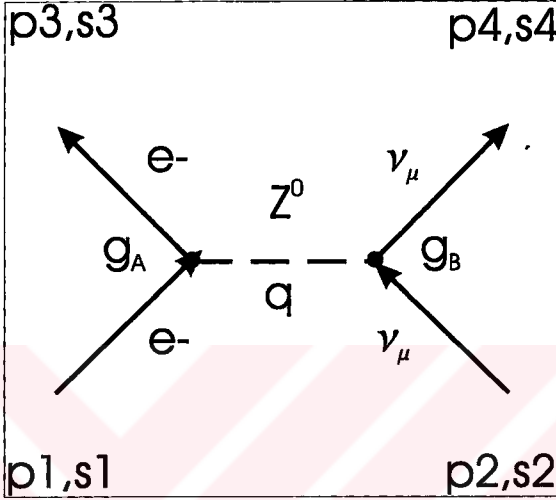
Şekil 4.4. $e^- \nu_e \rightarrow e^- \nu_e$ saçılması toplam tesir kesiti



Şekil 4.5. $e^- \nu_e \rightarrow e^- \nu_e$ saçılması A_{LR} asimetrisi

A_{LR} asimetrisine ait teorik grafik şekil 4.5'te gösterilmiştir.

4.2. $e^- \nu_\mu \rightarrow e^- \nu_\mu$ Saçılması



Şekil 4.6. $e^- \nu_\mu \rightarrow e^- \nu_\mu$ saçılması t kanal

$e^- \nu_\mu \rightarrow e^- \nu_\mu$ saçılmasına ait t kanal Feynman diagramı şekil 4.6'da gösterilmiştir. Genlikler aşağıdaki gibi hesaplanırlar.

$$M_{LL}(e_L^- \nu_L \rightarrow e_L^- \nu_L) = G_{LL}(t) [\bar{u}_L(4) \gamma^\mu u_L(2)] [\bar{u}_L(3) \gamma_\mu u_L(1)] \quad (1a)$$

$$M_{RL}(e_R^- \nu_L \rightarrow e_R^- \nu_L) = G_{RL}(t) [\bar{u}_L(4) \gamma^\mu u_L(2)] [\bar{u}_R(3) \gamma_\mu u_R(1)] \quad (1b)$$

Burada

$$G_{LL}(t) = \frac{g_Z^2 c_L^4}{4(t - M_Z^2 c^2)} = \frac{g_Z^2 c_L^4}{4(t - M_Z^2 c^2)} \quad (2a)$$

$$G_{RL}(t) = \frac{g_Z^2 c_R^4}{4(t - M_Z^2 c^2)} = \frac{g_Z^2 c_R^4}{4(t - M_Z^2 c^2)} \quad (2b)$$

Genliklerin kareleri

$$|M_{LL}|^2 = |G_{LL}(t)|^2 \left\{ \begin{array}{l} \text{Tr} \left\{ \gamma^\mu \left(\frac{1-\gamma^5}{2} \right) \not{p}_2 \gamma^\nu \left(\frac{1-\gamma^5}{2} \right) \not{p}_4 \right\} \times \\ \text{Tr} \left\{ \gamma_\mu \left(\frac{1-\gamma^5}{2} \right) \not{p}_1 \gamma_\nu \left(\frac{1-\gamma^5}{2} \right) \not{p}_3 \right\} \end{array} \right\} \quad (3a)$$

$$= 16|G_{LL}(t)|^2 (p_1 \cdot p_2)(p_3 \cdot p_4) \quad (3b)$$

$$= 4s^2 |G_{LL}(t)|^2 \quad (3c)$$

$$|M_{RL}|^2 = |G_{RL}(t)|^2 \left\{ \begin{array}{l} \text{Tr} \left\{ \gamma^\mu \left(\frac{1-\gamma^5}{2} \right) \not{p}_2 \gamma^\nu \left(\frac{1-\gamma^5}{2} \right) \not{p}_4 \right\} \times \\ \text{Tr} \left\{ \gamma_\mu \left(\frac{1+\gamma^5}{2} \right) \not{p}_1 \gamma_\nu \left(\frac{1+\gamma^5}{2} \right) \not{p}_3 \right\} \end{array} \right\} \quad (4a)$$

$$= 16|G_{RL}(t)|^2 (p_1 \cdot p_4)(p_2 \cdot p_3) \quad (4b)$$

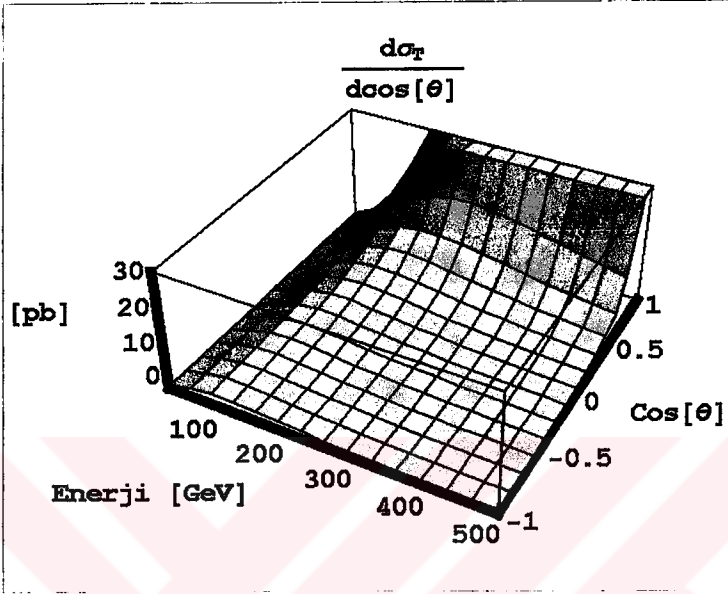
$$= 4u^2 |G_{RL}(t)|^2 \quad (4c)$$

Diferansiyel tesir kesitleri aşağıdaki gibi bulunurlar.

$$\frac{d\sigma_L(e^- \nu \rightarrow e^- \nu_L)}{dt} = \frac{(\hbar c)^2}{4\pi s^2 c^2} s^2 |G_{LL}(t)|^2 \quad (5a)$$

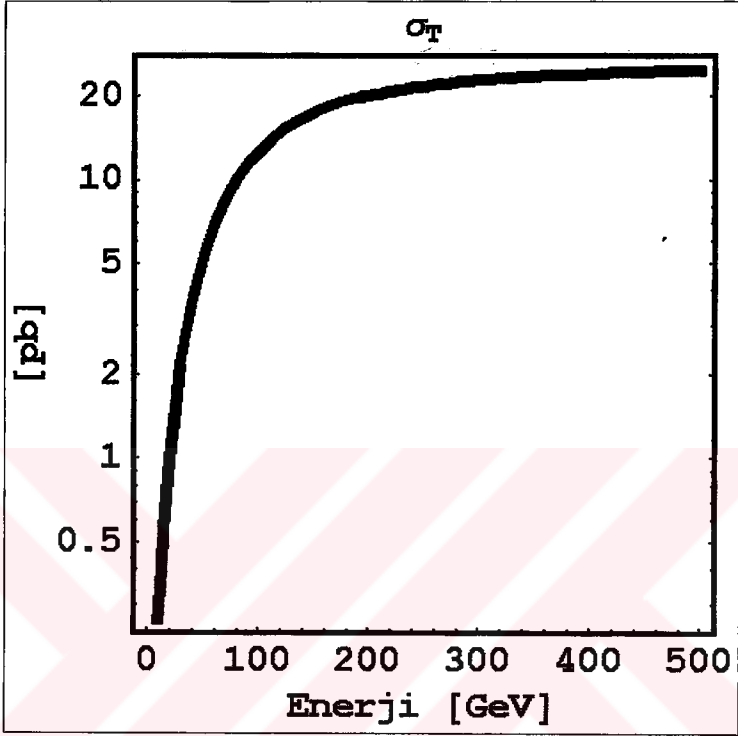
$$\frac{d\sigma_R(e^- \bar{\nu} \rightarrow e^- \nu_L)}{dt} = \frac{(\hbar c)^2}{4\pi s^2 c^2} u^2 |G_{RL}(t)|^2 \quad (5b)$$

$$\frac{d\sigma_T(e^- \nu \rightarrow e^- \nu_L)}{dt} = \frac{(\hbar c)^2}{8\pi s^2 c^2} \{s^2 |G_{LL}(t)|^2 + u^2 |G_{RL}(t)|^2\} \quad (5c)$$

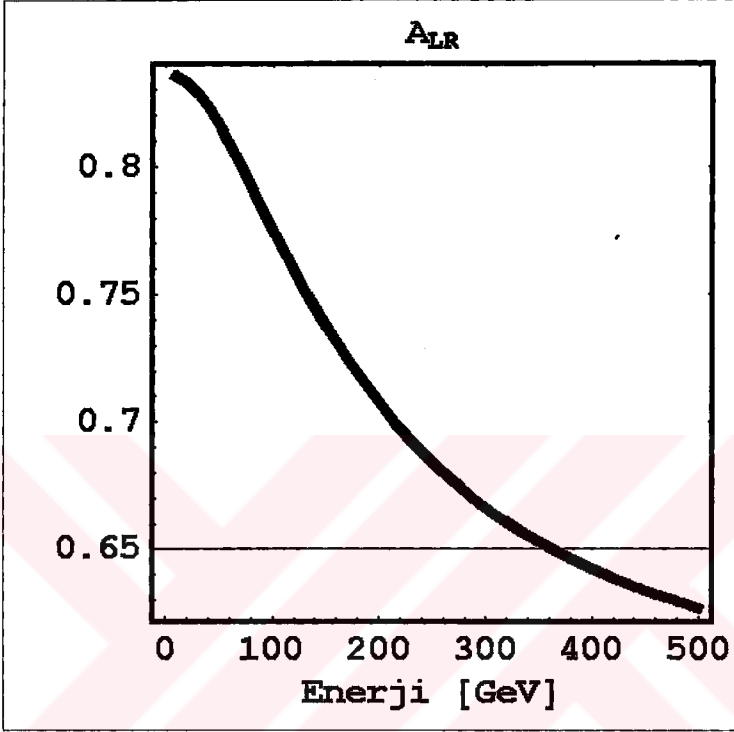


Şekil 4.7. $e^- \nu_\mu \rightarrow e^- \nu_\mu$ saçılması diferansiyel tesir kesiti

Toplam tesir kesiti ve diferansiyel tesir kesitine ait teorik grafikler şekil 4.7 ve 4.8'de gösterilmiştir.



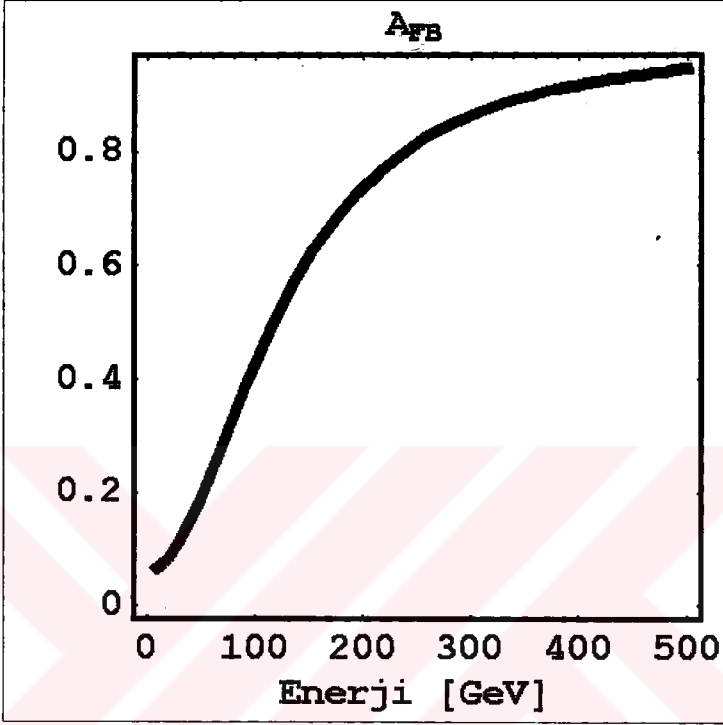
Şekil 4.8. $e^- \nu_\mu \rightarrow e^- \nu_\mu$ saçılması toplam tesir kesiti



Şekil 4.9. $e^- \nu_\mu \rightarrow e^- \nu_\mu$ saçılması A_{LR} asimetrisi

Asimetrilere ait teorik grafikler şekil 4.9 ve 4.10'da gösterilmiştir.





Şekil 4.10. $e^- \nu_\mu \rightarrow e^- \nu_\mu$ saçılması A_{FB} asimetrisi

4.2.1. Polarize Dirac parçacıklarının saçılması

Bu bölümde polarize fermiyonların saçılma hesap tekniği en basit örnek olan $e^- \nu_\mu \rightarrow e^- \nu_\mu$ saçılması üzerinde incelenecektir. Spini s ve momentumu p olan serbest fermiyonlar $u(p, s)$ spinörüyle antifermiyonlar ise $v(p, s)$ spinörüyle tarif edilirler. Burada $s \equiv s^\mu$ Lorenz vektörü olup parçacığın durgun olduğu sistemde uzaysal birim vektördür.

$$(s^\mu)_{RS} = (0, \vec{s}) \quad (6)$$

Parçacığın s^μ vektörünün parçacığın \vec{p} momentumuyla hareket ettiği referans sistemindeki bileşenleri Lorenz dönüşümü yardımıyla bulunabilir.

$$s^\mu = \left(\frac{\vec{p} \cdot \vec{s}}{m_0}, \vec{s} + \frac{\vec{s} \cdot \vec{p}}{m_0(E + m_0)} \vec{p} \right) \quad (7)$$

Denklem 7'nin ortogonalite ve normalizasyon şartlarını sağladığı kolayca gösterilebilir.

$$s^2 = 1, p \cdot s = 0 \quad (8)$$

Parçacığın durgun olduğu referans sisteminde birim spinörler $\sum \cdot \vec{s}$ operatörünün özdeğerleridir.

$$\sum \cdot \vec{s} u(0, \pm \vec{s}) = \pm u(0, \pm \vec{s}) \quad (9)$$

Burada $\sum = \gamma^5 \gamma^0 \vec{\gamma}$ olup standart tanımı çift Pauli matrisidir.

$$\sum = \begin{pmatrix} \vec{\sigma} & 0 \\ 0 & \vec{\sigma} \end{pmatrix} \quad (10)$$

Denklem 9'un kovariant genelleştirmesi yapılabilir.

$$\gamma^5 s u(p, \pm s) = \pm u(p, \pm s) \quad (11)$$

Burada extra γ^0 faktörü denklem 11'i pozitron spinörleri olan $v(p, \pm s)$ 'ler içinde geçerli yapmak için eklenmiştir. Denklem 11'i kullanarak "spin projeksiyon" operatörü tanımlanabilir. Özellikleri ise aşağıda gösterilmiştir.

$$\hat{\sum}(s) = \frac{1}{2}(1 + \gamma^5 s) \quad (12a)$$

$$\hat{\sum}(s) u(p, +s) = u(p, +s), \hat{\sum}(s) u(p, -s) = 0 \quad (12b)$$

Şimdiye kadar spin polarizasyonu için üretilen formülasyon helisite durumlarını da uygulanabilir. Parçacığın spini hareket doğrultusunu gösterdiğinde \vec{s} şu şekilde tanımlanabilir.

$$\vec{s}(\lambda) = \lambda \frac{\vec{p}}{|\vec{p}|}, \quad \lambda = \pm 1 \quad (13a)$$

$$s^\mu(\lambda) = \lambda \left(\frac{|\vec{p}|}{m_0}, \frac{E}{m_0} \frac{\vec{p}}{|\vec{p}|} \right) \quad (13a)$$

Biz fermiyonun spini \vec{s} 'nin momentumu \vec{p} 'yle aynı yönde olanına sağ eli, spini momentumuna ters yönde olanına ise sol eli diyeceğiz. alternatif olarak sırasıyla pozitif ve negatif helisite tanımları da kullanılabilir ($\lambda = +1$ veya $\lambda = -1$).

Yapılan bu girişten sonra artık $e^-v_\mu \rightarrow e^-v_\mu$ saçılmana geçilebilir.

$$M(e^-v_\mu \rightarrow Z^0 \rightarrow e^-v_\mu) = G(t) \left\{ \begin{array}{l} [\bar{u}(p_4, s_4) \gamma^\mu \left(\frac{1-\gamma^5}{2} \right) u(p_2, s_2)] \times \\ [\bar{u}(p_3, s_3) \gamma_\mu (c_V - c_A \gamma^5) u(p_1, s_1)] \end{array} \right\} \quad (14a)$$

$$G(t) = -\frac{g_Z^2}{4(t - M_Z^2 c^2)} \quad (14b)$$

Bu ifade Dirac matrislerinin ve parçacık belirli spinörlerinin konmasıyla hesaplanabilir. Fakat geçen bölümlerde kullanılan trace teoremleri denklem 12b'nin yardımıyla s_1 ve s_3 spinleri üzerinden toplam alınarak kullanılabilir. Spin projeksiyon operatörü kullanılarak $|M|^2$ şöyle yazılabilir.

$$|M|^2 = \left\{ \begin{array}{l} |G(t)|^2 \text{Tr} \left\{ \gamma^\mu \left(\frac{1-\gamma^5}{2} \right) \not{p}_2 \gamma^\nu \left(\frac{1-\gamma^5}{2} \right) \not{p}_4 \right\} \times \\ \text{Tr} \left\{ \gamma_\mu (c_V - c_A \gamma^5) \sum_{\hat{\Lambda}} (s_1) \not{p}_1 \gamma_\nu (c_V - c_A \gamma^5) \sum_{\hat{\Lambda}} (s_3) \not{p}_3 \right\} \end{array} \right\} \quad (15)$$

Denklem 15'deki $\sum (s_1)u(p_1, s_1) = \delta_{s_1, s_1'} u(p_1, s_1)$ projeksiyonu s_1' üzerinden toplamın yalnızca bir terim (s_1) vermesini garanti eder. Aynı sonuç s_3' üzerinden yapılan toplam için de geçerlidir. Elektronun helisitesini $\lambda_1 = +1$ olduğunu varsayıp son durumda saçılan elektronun spinin hareket doğrultusuna paralel olup olmama olasılığına bakacağız. Polarizasyon vektörleri şu şekilde tarif edlirse

$$s_1(\lambda_1) = \lambda_1 \left(\frac{|\vec{p}_1|}{m_0}, \frac{E_1}{m_0} \frac{\vec{p}_1}{|\vec{p}_1|} \right) \equiv \lambda_1 s_1 \quad (16a)$$

$$s_3(\lambda_3) = \lambda_3 \left(\frac{|\vec{p}_3|}{m_0}, \frac{E_3}{m_0} \frac{\vec{p}_3}{|\vec{p}_3|} \right) \equiv \lambda_3 s_3 \quad (16b)$$

Genliğin karesi

$$|M|^2 = \left\{ \begin{array}{l} |G(t)|^2 \text{Tr} \left\{ \left(\frac{1 + \gamma^5}{2} \right) \gamma^\mu \not{p}_2 \gamma^\nu \not{p}_4 \right\} \times \\ \text{Tr} \left\{ \gamma_\mu (c_V - c_A \gamma^5) \left(\frac{1 + \lambda_1 \gamma^5 \not{s}_1}{2} \right) \not{p}_1 \gamma_\nu (c_V - c_A \gamma^5) \left(\frac{1 + \lambda_3 \gamma^5 \not{s}_3}{2} \right) \not{p}_3 \right\} \end{array} \right\} \quad (17)$$

Denklem 17'deki ikinci trace sadeleştirildiğinde λ_1 ve λ_3 'ü tek başına içeren terimler tek sayıda gama matrisi içerdiklerinden sıfır olarak hesaplanırlar. Geriye şu terimler kalır.

$$|M|^2(\lambda_1, \lambda_3) = \left\{ \begin{array}{l} \frac{|G(t)|^2}{8} \text{Tr} \left\{ (1 + \gamma^5) \gamma^\mu \not{p}_2 \gamma^\nu \not{p}_4 \right\} \times \\ \left[\text{Tr} \left\{ (c_V + c_A \gamma^5)^2 \gamma_\mu \not{p}_1 \gamma_\nu \not{p}_3 \right\} + \lambda_1 \lambda_3 (c_A^2 - c_V^2) \text{Tr} \left\{ \gamma_\mu \not{s}_1 \not{p}_1 \gamma_\nu \not{s}_3 \not{p}_3 \right\} \right] \end{array} \right\} \quad (18)$$

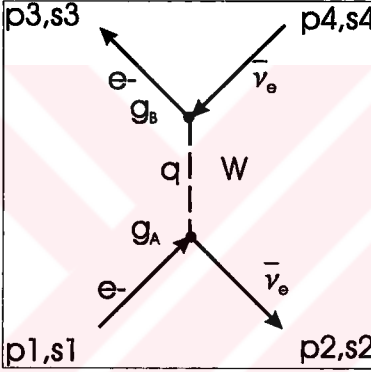
Sonuç olarak diferansiyel tesir kesiti yada genliğin karesi $\lambda_1 \lambda_3$ helisite çarpımlarına bağlıdır. Birçok deneyde saçılan parçacıkların polarizasyon derecesi ölçülebilir.

$$P = \frac{d\sigma(\lambda_3 = +1) - d\sigma(\lambda_3 = -1)}{d\sigma(\lambda_3 = +1) + d\sigma(\lambda_3 = -1)} \quad (19a)$$

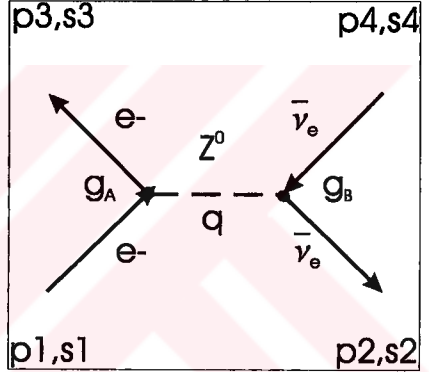
$$P = \lambda_1 (c_A^2 - c_V^2) \frac{\text{Tr}\{\gamma_\mu \hat{p}_1 \gamma_\nu \hat{p}_3\}}{\text{Tr}\{(c_V + c_A \gamma^5)^2 \gamma_\mu \hat{p}_1 \gamma_\nu \hat{p}_3\}} \quad (19b)$$

Sonuç olarak $P \neq 0$ olduğu görülmektedir.

4.3. $e^- \bar{\nu}_e \rightarrow e^- \bar{\nu}_e$ Saçılması



Şekil 4.11. $e^- \bar{\nu}_e \rightarrow e^- \bar{\nu}_e$ saçılması s kanal



Şekil 4.12. $e^- \bar{\nu}_e \rightarrow e^- \bar{\nu}_e$ saçılması t kanal

$e^- \bar{\nu}_e \rightarrow e^- \bar{\nu}_e$ saçılmasına ait s ve t kanal Feynman diagramları şekil 4.11 ve 4.12'de gösterilmiştir. Denklem 1a'dan 1b'ye geçerken Fierz transformasyonu kullanılmıştır.

$$M_{LL}(e_L^- \bar{\nu}_R \rightarrow e_L^- \bar{\nu}_R) = \left\{ \begin{array}{l} G_{LL}(s)[\bar{u}_L(3)\gamma^\mu \nu_R(4)][\bar{\nu}_R(2)\gamma_\mu u_L(1)] \\ + G_{LL}(t)[\bar{\nu}_R(2)\gamma^\mu \nu_R(4)][\bar{u}_L(3)\gamma_\mu u_L(1)] \end{array} \right\} \quad (1a)$$

$$= (G_{LL}(s) - G_{LL}(t))[\bar{u}_L(3)\gamma^\mu \nu_R(4)][\bar{\nu}_R(2)\gamma_\mu u_L(1)] \quad (1b)$$

$$M_{RL}(e_R^- \bar{\nu}_R \rightarrow e_R^- \bar{\nu}_R) = G_{RL}(t)[\bar{\nu}_R(2)\gamma^\mu \nu_R(4)][\bar{u}_R(3)\gamma_\mu u_R(1)] \quad (1c)$$

Burada

$$G_{LL}(s) = \frac{g^2 w}{2(s - M_W^2 c^2 + i\hbar M_W \Gamma_W)} \quad (2a)$$

$$G_{LL}(t) = \frac{g^2 c^4}{4(t - M_W^2 c^2)} \quad (2b)$$

$$G_{RL}(t) = \frac{g^2 c^4}{4(t - M_W^2 c^2)} \quad (2c)$$

Genliklerin kareleri

$$|M_{LL}|^2 = |G_{LL}(s) - G_{LL}(t)|^2 \left\{ \begin{array}{l} \text{Tr} \left\{ \gamma^\mu \left(\frac{1 - \gamma^5}{2} \right) \not{p}_4 \gamma^\nu \left(\frac{1 - \gamma^5}{2} \right) \not{p}_3 \right\} \times \\ \text{Tr} \left\{ \gamma_\mu \left(\frac{1 - \gamma^5}{2} \right) \not{p}_1 \gamma_\nu \left(\frac{1 - \gamma^5}{2} \right) \not{p}_2 \right\} \end{array} \right\} \quad (3a)$$

$$= 16 |G_{LL}(s) - G_{LL}(t)|^2 (p_1, p_4)(p_2, p_3) \quad (3b)$$

$$= 4u^2 |G_{LL}(s) - G_{LL}(t)|^2 \quad (3c)$$

$$|M_{RL}|^2 = |G_{RL}(t)|^2 \left\{ \begin{array}{l} \text{Tr} \left\{ \gamma^\mu \left(\frac{1 - \gamma^5}{2} \right) \not{p}_4 \gamma^\nu \left(\frac{1 - \gamma^5}{2} \right) \not{p}_2 \right\} \times \\ \text{Tr} \left\{ \gamma_\mu \left(\frac{1 + \gamma^5}{2} \right) \not{p}_1 \gamma_\nu \left(\frac{1 + \gamma^5}{2} \right) \not{p}_3 \right\} \end{array} \right\} \quad (4a)$$

$$= 16 |G_{RL}(t)|^2 (p_1, p_2)(p_3, p_4) \quad (4b)$$

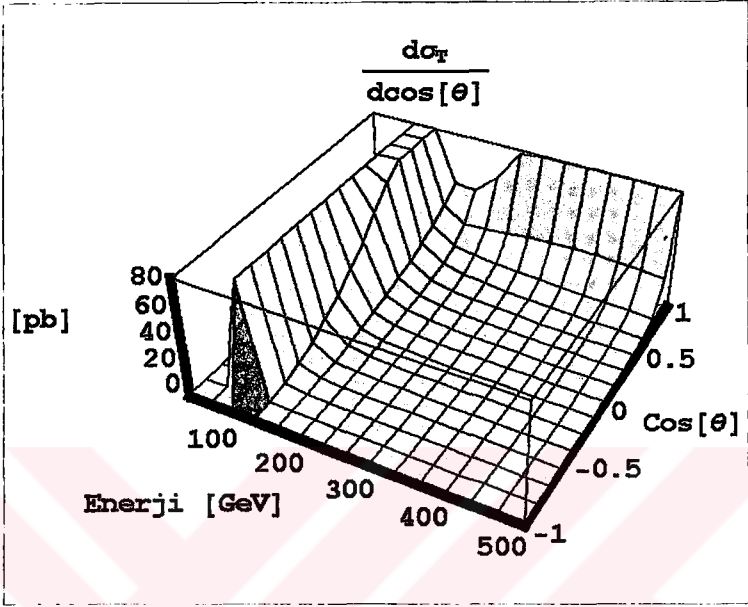
$$= 4s^2 |G_{RL}(t)|^2 \quad (4c)$$

Diferansiyel tesir kesitileri aşağıdaki gibi bulunur.

$$\frac{d\sigma_L(e_L^- \bar{\nu} \rightarrow e^- \bar{\nu})}{dt} = \frac{(\hbar c)^2}{4\pi s^2 c^2} u^2 |G_{LL}(s) - G_{LL}(t)|^2 \quad (5a)$$

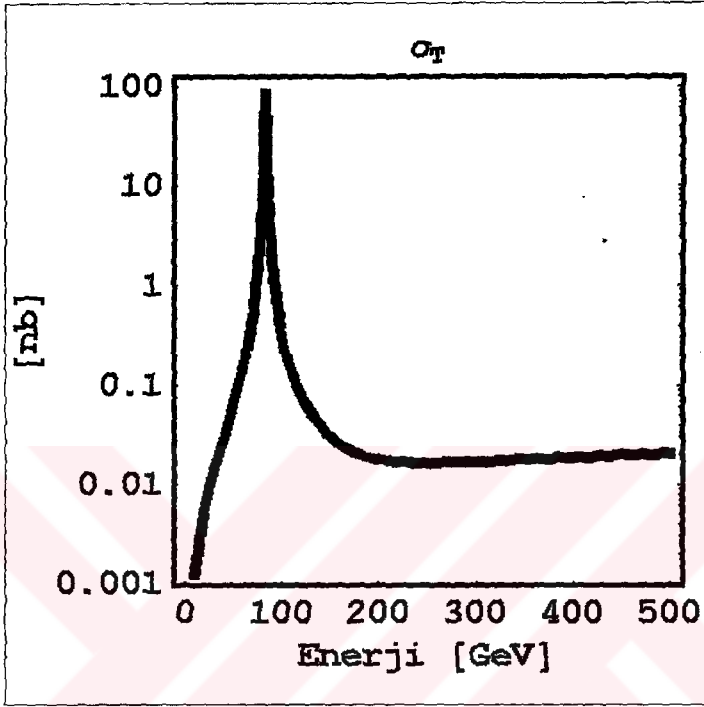
$$\frac{d\sigma_R(e_L^- \bar{\nu} \rightarrow e^- \bar{\nu})}{dt} = \frac{(\hbar c)^2}{4\pi s^2 c^2} s^2 |G_{RL}(t)|^2 \quad (5b)$$

$$\frac{d\sigma_T(e^- \bar{\nu} \rightarrow e^- \bar{\nu})}{dt} = \frac{(\hbar c)^2}{8\pi s^2 c^2} \{u^2 |G_{LL}(s) + G_{LL}(t)|^2 + s^2 |G_{RL}(t)|^2\} \quad (5c)$$

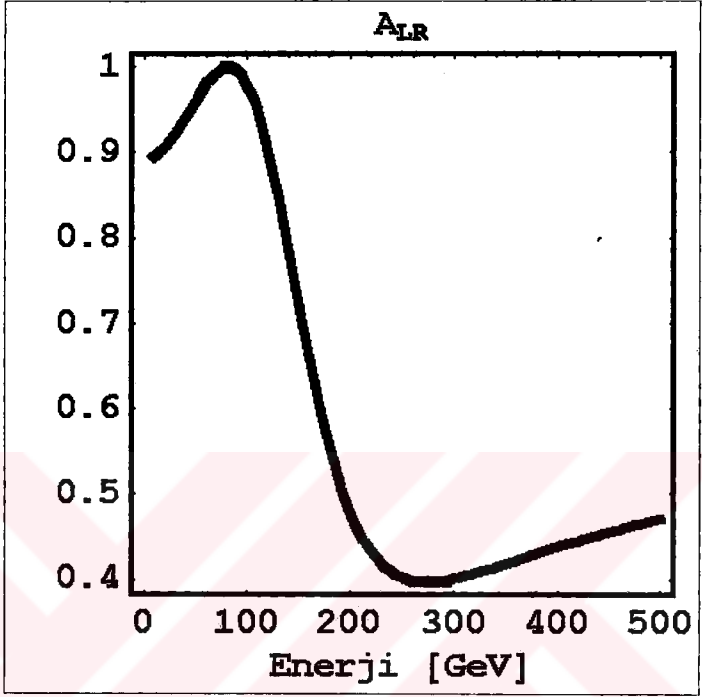


Şekil 4.13. $e^- \bar{\nu}_e \rightarrow e^- \bar{\nu}_e$ saçılması diferansiyel tesir kesiti

Toplam tesir kesiti ve diferansiyel tesir kesitine ait teorik grafikler şekil 4.13 ve 4.14'te gösterilmiştir.

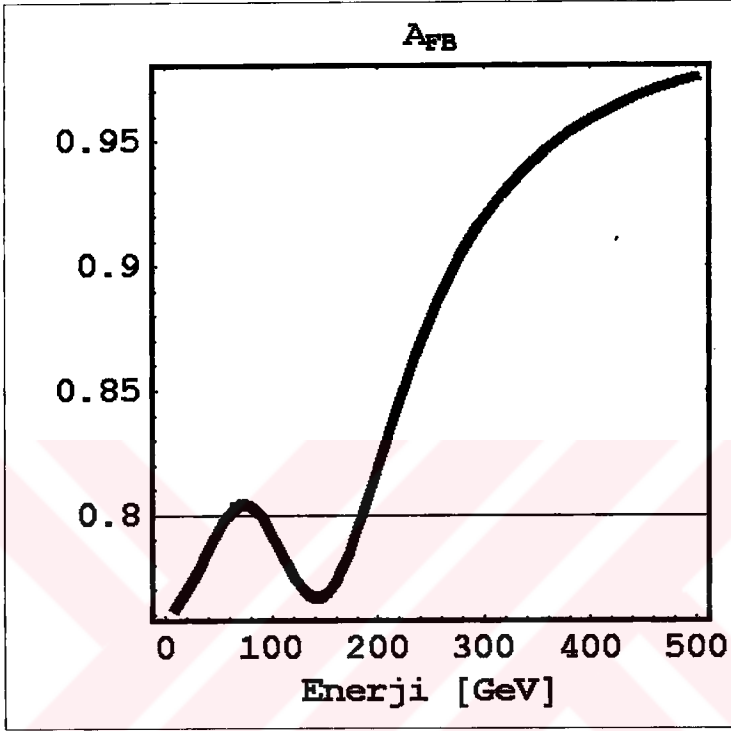


Şekil 4.14. $e^- \nu_e \rightarrow e^- \nu_e$ saçılması toplam tesir kesiti



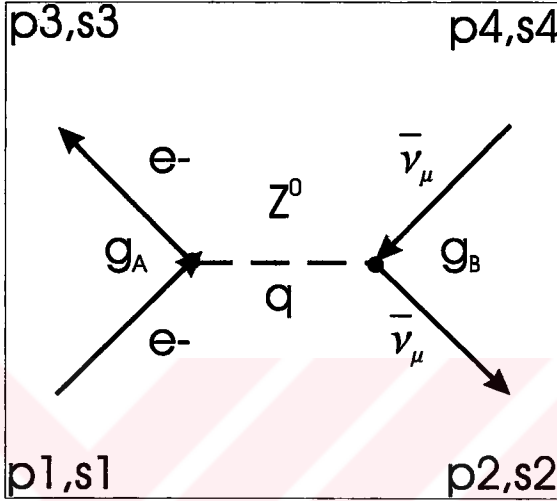
Şekil 4.15. $e^- \bar{\nu}_e \rightarrow e^- \bar{\nu}_e$ saçılması A_{LR} asimetrisi

Asimetrilere ait teorik grafikler şekil 4.15 ve 4.16'da gösterilmiştir.



Şekil 4.16. $e^- \bar{\nu}_e \rightarrow e^- \bar{\nu}_e$ saçılması A_{FB} asimetrisi

4.4. $e^- \bar{\nu}_\mu \rightarrow e^- \bar{\nu}_\mu$ Saçılması



Şekil 4.17. $e^- \bar{\nu}_\mu \rightarrow e^- \bar{\nu}_\mu$ saçılması t kanal

$e^- \bar{\nu}_\mu \rightarrow e^- \bar{\nu}_\mu$ saçılmasına ait t kanal Feynman diagramı şekil 4.17'da gösterilmiştir. Genlik hesapları aşağıdaki gibi yapılır.

$$M_{LL}(e_L^- \bar{\nu}_R \rightarrow e_L^- \bar{\nu}_R) = G_{LL}(t) [\bar{\nu}_R(2) \gamma^\mu \nu_R(4)] [\bar{u}_L(3) \gamma_\mu u_L(1)] \quad (1a)$$

$$M_{RL}(e_R^- \bar{\nu}_R \rightarrow e_R^- \bar{\nu}_R) = G_{RL}(t) [\bar{\nu}_R(2) \gamma^\mu \nu_R(4)] [\bar{u}_R(3) \gamma_\mu u_R(1)] \quad (1b)$$

Burada

$$G_{LL}(t) = \frac{g_Z^2 c_L^e}{4(t - M_Z^2 c^2)} \quad (2a)$$

$$G_{RL}(t) = \frac{g_Z^2 c_R^e}{4(t - M_Z^2 c^2)} \quad (2b)$$

Genliklerin kareleri

$$|M_{LL}|^2 = |G_{LL}(t)|^2 \left\{ \begin{array}{l} \text{Tr} \left\{ \gamma^\mu \left(\frac{1-\gamma^5}{2} \right) \not{p}_4 \gamma^\nu \left(\frac{1-\gamma^5}{2} \right) \not{p}_2 \right\} \times \\ \text{Tr} \left\{ \gamma_\mu \left(\frac{1-\gamma^5}{2} \right) \not{p}_1 \gamma_\nu \left(\frac{1-\gamma^5}{2} \right) \not{p}_3 \right\} \end{array} \right\} \quad (3a)$$

$$= 16|G_{LL}(t)|^2 (p_1 \cdot p_4)(p_2 \cdot p_3) \quad (3b)$$

$$= 4u^2 |G_{LL}(t)|^2 \quad (3c)$$

$$|M_{RL}|^2 = |G_{RL}(t)|^2 \left\{ \begin{array}{l} \text{Tr} \left\{ \gamma^\mu \left(\frac{1-\gamma^5}{2} \right) \not{p}_4 \gamma^\nu \left(\frac{1-\gamma^5}{2} \right) \not{p}_2 \right\} \times \\ \text{Tr} \left\{ \gamma_\mu \left(\frac{1+\gamma^5}{2} \right) \not{p}_1 \gamma_\nu \left(\frac{1+\gamma^5}{2} \right) \not{p}_3 \right\} \end{array} \right\} \quad (4a)$$

$$= 16|G_{RL}(t)|^2 (p_1 \cdot p_2)(p_3 \cdot p_4) \quad (4b)$$

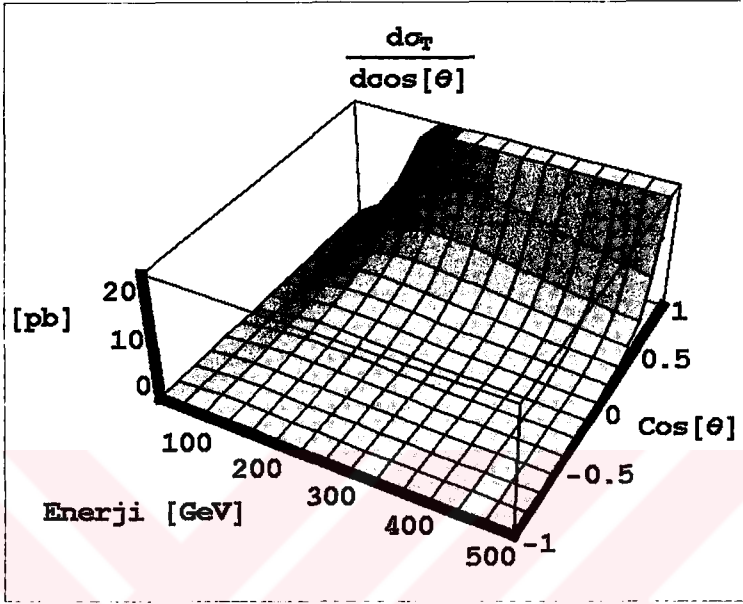
$$= 4s^2 |G_{RL}(t)|^2 \quad (4c)$$

Diferansiyel tesit kesitleri aşağıdaki gibi bulunur.

$$\frac{d\sigma_L(e_L^- \bar{\nu} \rightarrow e^- \bar{\nu})}{dt} = \frac{(\hbar c)^2}{4\pi s^2 c^2} u^2 |G_{LL}(t)|^2 \quad (5a)$$

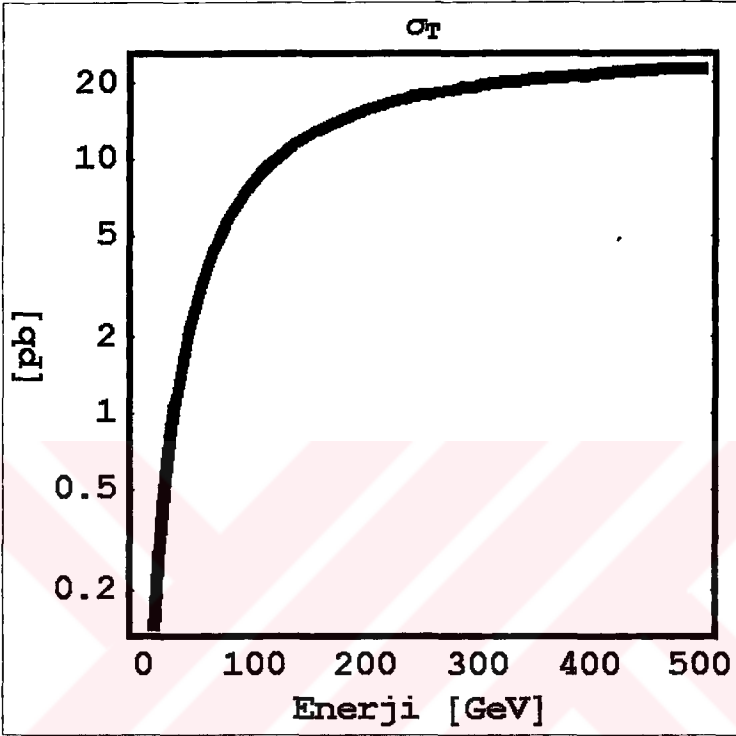
$$\frac{d\sigma_R(e_R^- \bar{\nu} \rightarrow e^- \bar{\nu})}{dt} = \frac{(\hbar c)^2}{4\pi s^2 c^2} s^2 |G_{RL}(t)|^2 \quad (5b)$$

$$\frac{d\sigma_T(e^- \bar{\nu} \rightarrow e^- \bar{\nu})}{dt} = \frac{(\hbar c)^2}{8\pi s^2 c^2} \{u^2 |G_{LL}(t)|^2 + s^2 |G_{RL}(t)|^2\} \quad (5c)$$

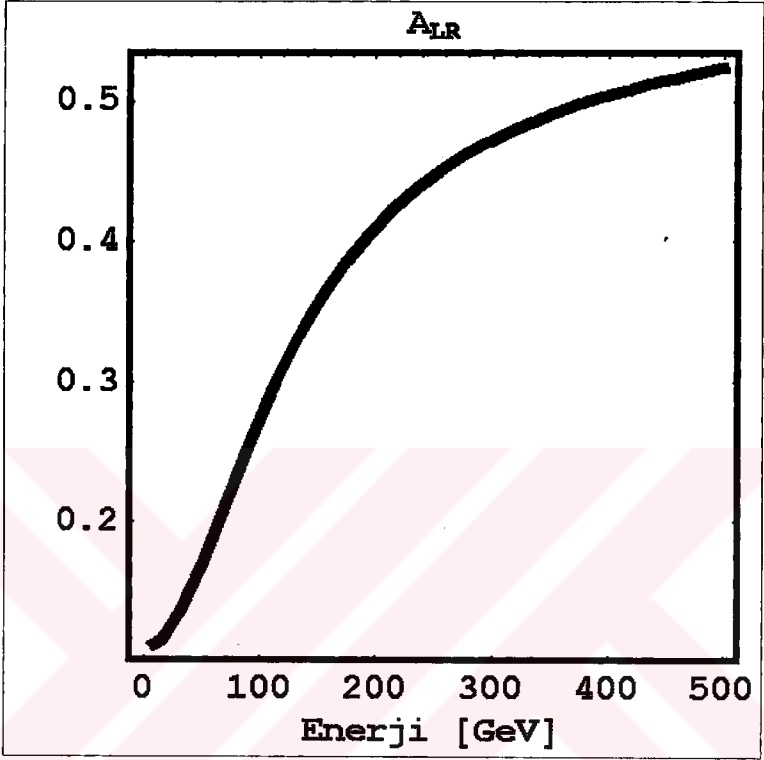


Şekil 4.18. $e^- \nu_\mu \rightarrow e^- \nu_\mu$ saçılması diferansiyel tesir kesiti

Toplam tesir kesiti ve diferansiyel tesir kesitine ait teorik grafikler şekli 4.18 ve 4.19'da gösterilmiştir.

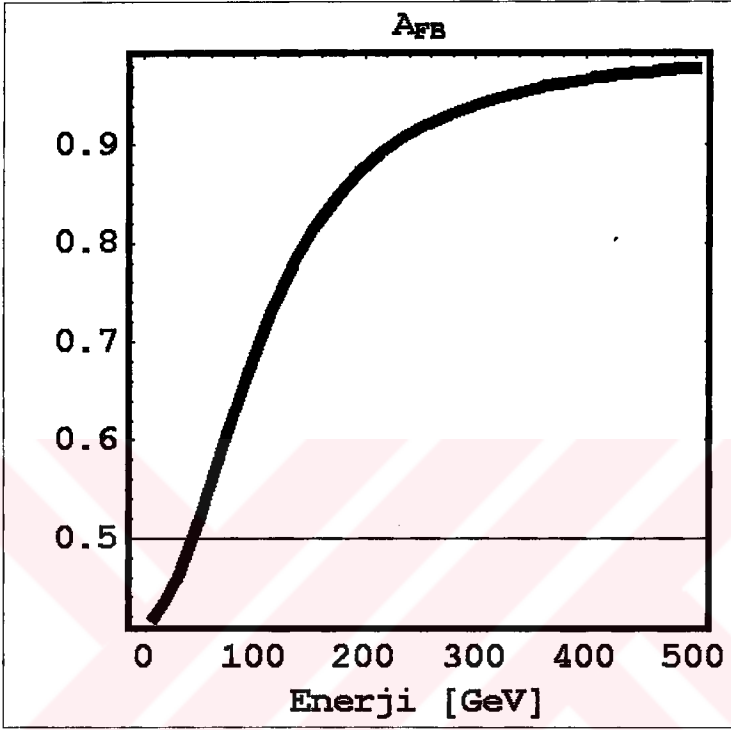


Şekil 4.19. $e^- \bar{\nu}_\mu \rightarrow e^- \bar{\nu}_\mu$ saçılması toplam tesir kesiti



Şekil 4.20. $e^- \bar{\nu}_\mu \rightarrow e^- \bar{\nu}_\mu$ saçılması A_{LR} asimetrisi

Asimetrilere ait teorik grafikler şekil 4.20 ve 4.21'da gösterilmiştir.



Şekil 4.21. $e^- \bar{\nu}_\mu \rightarrow e^- \bar{\nu}_\mu$ saçılması A_{FB} asimetrisi

5. SONUÇ

Standart Model günümüz parçacık fiziğinin kabul görmüş ve deneylerle mükemmel uyuşan modelidir. Bu model çerçevesinde $e^+e^- \rightarrow f\bar{f}$ ($f = e, \mu, \tau$) ve $e\nu_f \rightarrow e\nu_f$, $e\bar{\nu}_f \rightarrow e\bar{\nu}_f$ süreçleri ayrıntılarıyla incelenmiştir. LEP verileriyle yapılan karşılaştırmalar göstermektedir ki teori ile deney arasındaki uyum mükemmeldir. Standart Model ötesi fiziğin bu süreçlere katkılarının hesabı ve böylelikle modelin geliştirilmesine ait ipuçlarının araştırılması günümüzdeki güncel problemlerdendir ve daha ileri bir araştırmanın konusunu oluşturur.

KAYNAKLAR

- Griffiths, D. 1987. Introduction to Particle Physics. J.Wiley Ed.
- Barger, V.D. and Philips R. 1997. Collider Physics.
Addison-Wesley Publishing Company, Inc.
- Greiner, W. 2001. Electroweak Interactions. Springer Ed.
- Martin, A. 1992. Quarks and Leptons. J.Wiley Ed.
- Quigg, C. 1996. Gauge Theories of Strong, Weak
and Electromagnetic Interactions. Eddison-Wesley Ed.
- Marciano, W.J and Parsa, Z. 2003. Neutrino-electron scattering theory*.
J.Phys. G:Nucl.Part.Phys.29 (2003) 2926-2645.
- Vilain, P. , Wilquet G. 1994. Precision measurement of electroweak
parameters from the scattering of muon-neutrinos on electrons
(CHARM II Collaboration). Physics Letters B. 335 (1994) 246-252.

ÖZGEÇMİŐ

Nusaybin'de 1977 yılında dođdu. İlk ve orta öğrenimini İzmir'de, lise öğrenimini Eskişehir TCDD Meslek Lisesi'nde tamamladı. 1996 yılında girdiđi Ankara Üniversitesi Fen Fakóltesi Fizik Bölümünden 2001 yılında Fizikçi ünvanıyla mezun oldu. 2001-2004 yılları arasında, Ankara Üniversitesi Fen Bilimleri Enstitüsü Fizik Mühendisliđi Anabilim Dalı'nda Yüksek Lisans öğrenimini tamamladı.

TCDD Genel Müdürlüđü Tesisler Daire Başkanlıđı 2. Bölge Tesisler Müdürlüđü'nde 1996 yılından bu yana görev yapmaktadır.